

18
8

PROGRAMAS COMPUTACIONALES APLICADOS A SECUENCIAS EN LA BIOLOGIA

TESIS DE LICENCIATURA
EN INVESTIGACION BIOMEDICA BASICA

por Jaime Lagunez Otero
Instituto de Investigaciones Biomédicas

Universidad Nacional Autónoma de México
Enero de 1983



Universidad Nacional
Autónoma de México

Dirección General de Bibliotecas de la UNAM

Biblioteca Central



UNAM – Dirección General de Bibliotecas
Tesis Digitales
Restricciones de uso

DERECHOS RESERVADOS ©
PROHIBIDA SU REPRODUCCIÓN TOTAL O PARCIAL

Todo el material contenido en esta tesis esta protegido por la Ley Federal del Derecho de Autor (LFDA) de los Estados Unidos Mexicanos (México).

El uso de imágenes, fragmentos de videos, y demás material que sea objeto de protección de los derechos de autor, será exclusivamente para fines educativos e informativos y deberá citar la fuente donde la obtuvo mencionando el autor o autores. Cualquier uso distinto como el lucro, reproducción, edición o modificación, será perseguido y sancionado por el respectivo titular de los Derechos de Autor.

PROGRAMAS COMPUTACIONALES APLICADOS A SECUENCIAS EN LA BIOLOGIA

OBJETIVOS:

1) Considerar ideas sobre nuevos métodos para análisis de secuencias.

2) Presentar los programas sobre secuencias de macromoléculas y de conducta desarrollados aquí.

- a) Generación de secuencias
- b) Estudio de secuencias

3) Presentar resultados obtenidos con los programas.

INDICE / SUMARIO

I. Introducción

Aplicación de las computadoras a la Biología. Las secuencias de macromoléculas y de eventos conductuales se pueden tratar en forma similar.

A. Conducta. Métodos tradicionales no son adecuados para buscar patrones comunes entre diferentes secuencias de conducta.

B. Biología Molecular. El metabolismo, la ingeniería genética y los programas computacionales.

Características de la microcomputadora utilizada.

II. Programas para el análisis de secuencias de conducta exploratoria en ratones.

Presentación de los métodos utilizados para traducir series de eventos conductuales a secuencias de caracteres.

A) Características de la conducta.

B) La obtención de secuencias repetidas permite el estudio posterior sobre su relación con factores genéticos y emocionales.

C) El problema de la representación de información relevante.

1) Definición de unidades conductuales.

2) Consideraciones sobre coordenadas espacio-temporales en la representación de la información.

D) Utilización de programas para búsqueda de homologías.

E) Resultados obtenidos.

III. Programas para el análisis de A.D.N. y proteínas; aplicación a problemas específicos.

A) Búsqueda de secuencias reconocidas por enzimas de restricción en el genoma de *Klebsiella pneumoniae*.

Programa utilizado:

BUSEC: Búsqueda de secuencias cortas dentro de secuencias mayores definidas por el investigador.

CRADNA: Creación de archivos para secuencias en forma de tripletes.

B) Búsqueda de zonas participantes en la regulación de glutamino sintetasa en *Escherichia coli*.

Programas utilizados:

COMP: Obtención de cadena complementaria de A.D.N.
TRAD: Traducción de A.D.N. a proteína en las tres fases posibles.

EUPAL: Búsqueda de secuencias invertidas repetidas (palindromes).

C) Comparación entre cuatro secuencias de Glutamato Deshidrogenasa NADPH dependientes y determinación de distancias mutacionales.

Programas utilizados:

HOMOLOG: Búsqueda de homología entre secuencias largas de A.D.N., entre proteínas o entre secuencias conductuales.

GRAFPOL: Graficación de las características químicas más relevantes de los aminoácidos de una proteína.

MMD: Determinación de distancias evolutivas entre secuencias peptídicas.

IV. Discusiones

Mejorías para los programas. Posibilidades para el futuro.

Referencias

Indice de figuras

- 1.1 Presentación diagonal de HOMOLOG.
- 1.2 Presentación horizontal de HOMOLOG.
- 2.1 Diagramas de estados en conducta.
- 2.2 Numeración en campo abierto.
- 2.3 A. Matriz I - Gradiente de distancia con respecto al origen en campo abierto. B. Matriz II - Barreras físicas en campo abierto. C. Matriz resultante de tensión emocional.
- 2.4 Matriz de 'angustia' en tercera dimensión.
- 2.5 Código utilizado para traducción.
- 2.6 Tabla utilizada para determinar las zonas por las que hubo desplazamiento.
- 2.7 Ejemplo de traducción.
- 2.8 Ciclo básico hipotético de secuencias de pautas.
- 2.9 Flujo de información en el estudio de la conducta exploratoria.
- 2.10 Secuencias encontradas en común entre diferentes ratones.
- 3.1.1 Inserto de KDH en pAC-35.
- 3.1.2 Secuencias optativas dentro de BUSEC.
- 3.1.3 Parte de la secuencia del inserto de KDH que se analizó con BUSEC.
- 3.1.4 Resultados del estudio realizado con BUSEC.
- 3.2.1 Secuencia anterior al gene glnA indicando sitios de iniciación de transcripción y traducción.
- 3.2.2 Espacio cartesiano representando el método de traducción de tripletes a aminoácidos.
- 3.2.3 Traducción en tres fases de región de control de glnA.
- 3.2.4 Ejes de simetría para detección de palíndromos en matriz generada por BUFAL.
- 3.2.5 Óptima estructura para la búsqueda de secuencias

repetidas invertidas en un segmento de mas de 80 pares de bases.

3.2.6 Compaginación de secuencias palindrómicas en la región de control de glnA en E. Coli.

3.2.7 Dos posibles estructuras secundarias encontradas por BUPAL en la region de control de glnA (bases 565 a 685).

3.3.1 Coincidencias dentro de 80 elementos de GDH nadph dependientes de E.coli, N.crassa, pollo, y bovino.

3.3.2 Comparación absoluta entre las diferentes secuencias. A. E.coli y N.crassa, B. Bovino y N.crassa, C. Bovino y E.coli.

3.3.3 Tabla de correspondencia entre tripletes y aminoácidos usada para determinar diferencias de una base.

3.3.4 Matriz mostrando los aminoácidos que difieren en solo una base.

3.3.5 Comparación entre N.crasa y E.coli tomando en cuenta el cambio de una base.

3.3.6 Histogramas de hidrofobicidad/hidrofiliidad de las enzimas GDH nadph dependientes de E.coli, N.crassa, Pollo, y Bovino. Cerca de la posición 60 se observa un pico de acidez.

3.3.7 Comparación entre E.coli y N.crassa tomando en cuenta polaridad de los aminoácidos.

3.3.8 Matriz indicando distancias minimas mutacionales entre los diferentes aminoácidos.

3.3.9 Distancias minimas mutacionales entre las cuatro secuencias.

3.3.10 Dendrograma obtenido a partir de de las distancias mutacionales.

4.1 Dos ejemplos de secuencias conductuales representadas en forma de histogramas.

4.2 Reconocimiento de patrones usando la tecnica de programacion dinamica.

INTRODUCCION

El uso de sistemas computacionales en la biología ha crecido de manera explosiva en los últimos años debido principalmente a la disminución de costos de las unidades procesadoras digitales. Esto ha tenido lugar por la creación de tecnología para alta concentración de circuitos electrónicos. Asimismo los investigadores se han visto obligados a utilizar las más avanzadas técnicas matemáticas y computacionales para resolver problemas biológicos complejos como son los ecológicos, los regulatorios, y los de diferenciación celular.

En este trabajo se revisan dos aplicaciones biológicas: A. en el estudio de conducta y B. en la biología molecular.

A) Conducta

En la etología participan varias disciplinas, entre ellas la bioquímica, la fisiología, y la psicología. Sin embargo no se pueden utilizar los mismos métodos de adquisición de información de estas ciencias. Requiere de técnicas creadas ad-hoc para ella. Para encontrar la correlación entre la expresión conductual con los fenómenos fisiológicos internos se ha visto que los métodos ya utilizados no son lo suficientemente informativos (1,2,3). Se han usado diversos 'índices' para encontrar la relación entre los estados emocionales/fisiológicos y la conducta observada. Estos índices son fundamentalmente de tipo cuantitativo en forma de frecuencias con que aparece un evento dado o la transición de un evento a otro. Como se ve en prácticamente cualquier conducta como el cortejo, la definición de territorios o quizás la exploración de un medio extraño, la secuencia de eventos con que suceden es muy importante para determinar su significado. Las pautas conductuales aisladas no son suficientes para obtener un significado satisfactorio que refleje el funcionamiento interno de la caja negra que es el sistema nervioso central. Ejemplos de las técnicas que deshebran las secuencias conductuales son (5):

1. Procesos de Markov
2. Escalamiento Multidimensional
3. Análisis de cúmulos
4. Teoría de la información

Los métodos que emplean el análisis de cúmulos y los tratamientos Markovianos enfocan el problema desde el punto de vista de la probabilidad de suscitarse una transición de un evento a otro. Se encadenan aquellos eventos que se suceden o preceden frecuentemente. Esto es una reconstrucción de una realidad y no un estudio de los hechos como unidades íntegras. La analogía del problema sería intentar determinar la similitud entre dos cadenas de ADN solo con las frecuencias con que se suceden unas bases a

otras y no con la secuencia en si. Una desventaja en particular del tratamiento de tipo Markoviano es que el numero de datos requeridos crece en forma exponencial conforme se alarga la secuencia en cuestion. Por otra parte es muy probable que la ocurrencia de un evento sea dependiente de la serie anterior de eventos conductuales y no solamente del evento anterior. Esto es contrario a la definicion de un proceso Markoviano. Un sistema como el que se utiliza en este trabajo para detectar homologias entre secuencias macromoleculares mantiene la integridad de la informacion sin los problemas ya mencionados.

Revisando los programas para el analisis de secuencias de bases nucleicas utilizados en la Universidad de Berkel se encuentra uno que genera una matriz con dos secuencias en los ejes X y Y para determinar homologias. Este programa fue el predecesor de el programa HOMOLOG que permite visualizar facilmente zonas homologas entre dos secuencias ya sean proteicas, nucleicas o conductuales. HOMOLOG presenta las secuencias en comun en forma diagonal u horizontal. La forma diagonal es un plano cartesiano con cada eje correspondiendo a una secuencia como la matriz del programa original. En las coordenadas determinadas por las posiciones de los elementos se presentan los elementos homologos o blancos si no hubo coincidencia. Esto es diferente al programa de Berkely ya que este no imprime el elemento explicito sino solo un punto. Con la nueva presentacion se pueden ver secuencias en sentido diagonal correspondientes a las zonas homologas (fig 1.1)

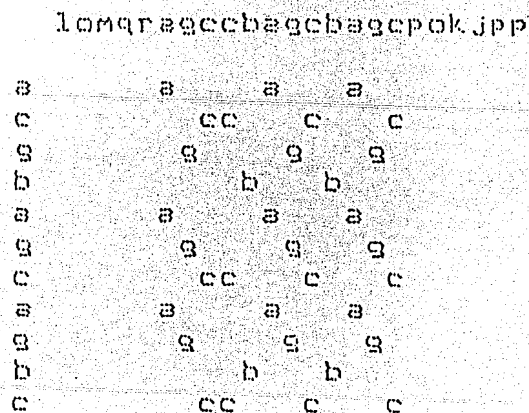


Fig. 1.1 Presentacion diagonal de HOMOLOG.

Variando algunas características como la presentación, dando opciones paramétricas como tomar por cierto aquellos elementos que no son idénticos pero pertenecer a una misma categoría y acumulando los resultados automáticamente en archivos se pueden generalizar las funciones de este programa y otros similares a todo tipo de secuencias con una

polimerasa), y los sitios de union de ribosoma necesarios para la sintesis de proteina. Estos sitios son identificados como secuencias definidas o como estructuras secundarias (estructuras tridimensionales formadas por la interaccion entre las bases). Por otra parte existen sistemas mas complejos que requieren de una regulacion a nivel de transcripcion y traduccion simultaneamente (26). El caso mejor conocido es el de "atenuacion" en el cual se han identificado dos características importante a nivel estructural de A.D.N. Estas son a) la formacion de de estructuras secundarias alternativas en una region anterior al gene que codifica para una enzima biosintetica y b) la presencia de codones en tandem para el aminoacido correspondiente en fase con un peptido hipotetico tambien localizado antes del gene estructural. En la deteccion de estas posibles estructuras es donde intervienen los programas creados.

La ingenieria genetica es una rama de la biologia molecular que reúne varias metodologias tales como la clonacion molecular y la secuenciacion de A.D.N. con el fin de entender los sistemas metabolicos celulares y de obtener importantes productos biologicos como son el interferon y la insulina (10,23). Con el advenimiento de ella se hizo posible la lectura de todo tipo de informacion almacenada en las secuencias de A.D.N. obtenidas con tecnicas de laboratorio cada vez mas eficientes (14,15). La computadora acelera este proceso considerablemente. Una herramienta clave de la ingenieria genetica son las enzimas de restriccion. Estas son proteinas catalizadoras de la ruptura de ADN de doble cadena (25). Los sitios de corte son comunmente secuencias (repetidas invertidas) denominadas palindromicas de entre 4 y 8 pares de bases (EJ. ATGCA--TGCAT). Debido a secuencias mas largas de este tipo se pueden formar gazas en el espacio al aparearse internamente las bases. Las estructuras pueden darse tanto en ADN como en ARN. La localizacion de los sitios de reconocimiento para diversas enzimas de restriccion reviste importancia cuando el objetivo es una caracterizacion final de alguna region del A.D.N. para facilitar su posterior manipulacion. Dado el gran numero de diferentes enzimas de restriccion descritas a la fecha se hace indispensable la computadora para realizar la tarea repetitiva de buscar los sitios de corte en las secuencias. Otros trabajos igualmente adecuados para la computadora son la cuenta de secuencias de alta repeticion (de interes actual); la determinacion de contenido de A-T/G-C; y la traduccion y uso de tripletes (11).

El programa BUSEC puede encontrar secuencias definidas dentro de secuencias largas ya sean iniciadores que son sitios de union de proteinas activadoras, operadores que son sitios de union a proteinas represoras o bien secuencias reconocidas por enzimas de restriccion. Para detectar estructuras secundarias se requiere el programa BUPAL que

encuentra secuencias repetidas invertidas. El programa HOMOLOG sirve para detectar zonas similares con el mismo sistema de regulacion. Esto implica una relacion evolutiva o funcional cercana.

Objetivos especificos de la tesis.

En el caso del estudio de la conducta el problema principal estriba en traducir los hechos observados a una secuencia de caracteres. La segunda seccion explica como se logro esta traduccion en el estudio de la conducta exploratoria de ratones en un medio extraño y los resultados obtenidos de su analisis. La tercera presenta algunos de los proyectos de biologia molecular en que se requirieron los programas ya mencionados y como fueron desarrollados. Se tiene ademas un apendice con los listados de los programas y algunos de los datos utilizados.

En el trabajo se presentan los ocho programas: BUSEC, EUPAL, COMP, CRADNA HOMOLOG, MMD, TDA Y TRAD. Las funciones de algunos de los relacionados con biomoleculas se encuentran en la literatura. Ya que se desarrollaron con las funciones como guia y no los algoritmos se puede afirmar que son unicos tanto en metodo como en presentacion.

Datos Tecnicos:

Se utilizo una microcomputadora APPLE II con microprocesador 6502 y 48 K de memoria. Como memoria secundaria se usaron diskettes Floppy de 5.75". Todos los programas se escribieron en APFLESOFT BASIC.

II. TRADUCCION DE INFORMACION CONDUCTUAL OBSERVADA A SECUENCIAS DE SIMBOLOS

1. Antecedentes

La conducta queda definida por series de eventos motores llamados unidades conductuales o pautas que se presentan en forma de secuencias. Existen series que se presentan con regularidad y con cierta variacion. Esta idea es paralela a la de melodia musical (6). Al conjunto de reglas que generan a las melodias se les ha considerado equivalentes a reglas gramaticales o de logica interna (7). Cambios cualitativos en estas reglas podrian reflejar cambios en los estados fisiologicos de los individuos o diferencias geneticas entre subespecies o grupos. En forma de grafica de estados se podria representar este concepto de la manera siguiente (Fig 2.1)

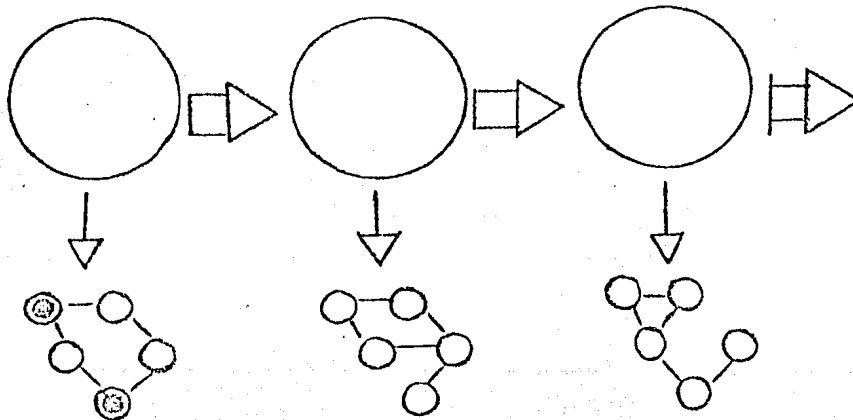


Fig. 2.1 Diagramas de estados en conducta.

En este diagrama cada nodo corresponde a un estado fisiológico modificado por el origen de la cepa bajo estudio y/o efectos de farmacos. Las flechas horizontales en este caso representan la transición de un estado a otro. Cada nodo se puede expandir en un subsistema cuyos nodos corresponden a pautas conductuales y las líneas también representan transiciones. Ya que existe una correspondencia entre estados y subsistemas, al identificar a los subsistemas o a las reglas que definen a los subsistemas, debemos poder determinar el estado fisiológico correspondiente.

El resultado del análisis que tome en cuenta estos conceptos es mucho más informativo que un estudio de frecuencias simples. Motivados por la idea de desarrollar un instrumento para detectar secuencias comunes de comportamiento en ratones (representantes de los

subsistemas) se desarrollaron los programas TDA y SDR. La función del primero es traducir la actividad del ratón a una secuencia de caracteres. El segundo es una variante de HOMOLOG que construye un archivo para cada una de las secuencias encontradas dentro de dos o más secuencias exploratorias completas. De esta manera se tiene un registro detallado de los resultados de cada uno de los estudios. En los archivos se tiene la secuencia, en cuantas y cuales observaciones se presentó y en que posiciones dentro de las secuencias.

Al analizar un número considerable de secuencias representativas de los movimientos podríamos encontrar un patrón típico exploratorio. Toda desviación de este patrón podría tener un significado fisiológico.

2. Diseño experimental

Se estudiaron ratones explorando un medio novedoso y como control positivo ratones bajo el efecto de la droga Diazepam (5 mg/kg) . Se utilizaron datos obtenidos de la observación de la conducta exploratoria de ratones albinos (BALE-c) machos durante 15 minutos en un medio clásico de estudio: el 'campo abierto'. Esto es una caja plana de madera sin objetos adicionales, pintada negra de 60cm. por 60 cm dividida en 36 cuadro de 10 cm. por 10 cm. (21) (Fig 2.1) La caja era lavada con amoniaco antes de cada observación. Como prueba adicional sobre fuente de variación, después de diez minutos de exploración a todos se les expuso a un ruido aversivo con duración de 2 segundos.

NUMERACION DE LOS CUADROS EN CAMPO ABIERTO

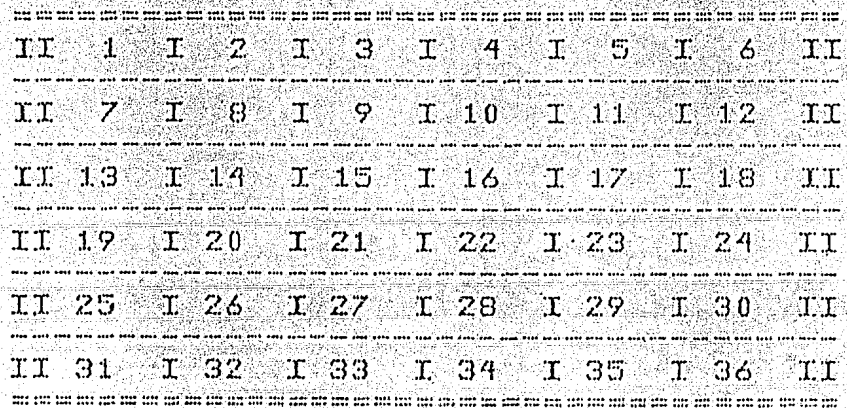


Fig.2.2 Numeración en campo abierto.

Recordando las secuencias homologas de la figura 1.2 generadas por el programa HOMOLOG a base de deslizamientos,

se ve que el problema relevante a este estudio consiste en representar la conducta observada en forma de secuencias de caracteres que serán comparadas con el programa.

El primer paso consiste en definir los criterios para determinar una unidad conductual dentro de una secuencia. Para ello se debe tomar en cuenta los siguientes puntos:

- a. Actividad realizada
- b. Coordinada espacial (localización)
- c. Coordinada temporal (duración)

a. Actividad realizada

Estas son las cinco actividades básicas:

1. aseo
2. desplazamiento
3. exploración
4. congelamiento
5. escape

Un aseo incluye el lavar, lamer, rascar, y la agitación de la cabeza, patas, cuerpo, genitales, y/o cola. Interrupciones del aseo por pausas con duración menor a cuatro segundos determinan una nueva pauta. Los desplazamientos se les consideran como tales cuando no existen interrupciones para explorar o asearse. La exploración se determina cuando el ratón husnea una cierta zona. El congelamiento ocurre frecuentemente después del ruido aversivo y su duración mínima es de cinco segundos pero puede mantenerse en el mismo estado hasta el final de la observación. Un desplazamiento de más de dos cuadros por segundo define un escape.

b. Coordinada espacial

Para intentar clasificar zonas equivalentes dentro de la caja y poder extrapolar la información obtenida de los campos de exploración experimentales a otras condiciones se construyeron las siguientes matrices donde se intenta explicar a priori la frecuencia de estancia en estas distintas regiones de el medio.

MATRIZ I

| | | | | | | | | | | | | |
|---|---|---|---|---|---|---|---|---|---|---|---|---|
| I | 0 | I | 0 | I | 0 | I | 1 | I | 1 | I | 1 | I |
| I | 0 | I | 0 | I | 1 | I | 1 | I | 1 | I | 2 | I |
| I | 0 | I | 1 | I | 1 | I | 1 | I | 2 | I | 2 | I |
| I | 1 | I | 1 | I | 1 | I | 2 | I | 2 | I | 2 | I |
| I | 1 | I | 1 | I | 2 | I | 2 | I | 2 | I | 3 | I |
| I | 1 | I | 2 | I | 2 | I | 2 | I | 3 | I | 3 | I |

MATRIZ II

| | | | | | | | | | | | | |
|----|---|---|---|---|---|---|---|---|---|---|---|----|
| II | 0 | I | 0 | I | 2 | I | 2 | I | 0 | I | 0 | II |
| II | 0 | I | 4 | I | 4 | I | 4 | I | 4 | I | 0 | II |
| II | 2 | I | 4 | I | 4 | I | 4 | I | 4 | I | 2 | II |
| II | 2 | I | 4 | I | 4 | I | 4 | I | 4 | I | 2 | II |
| II | 0 | I | 4 | I | 4 | I | 4 | I | 4 | I | 0 | II |
| II | 0 | I | 0 | I | 2 | I | 2 | I | 0 | I | 0 | II |

MATRIZ RESULTANTE

| | | | | | | | | | | | | |
|----|---|---|---|---|---|---|---|---|---|---|---|----|
| II | 0 | I | 0 | I | 2 | I | 3 | I | 1 | I | 1 | II |
| II | 0 | I | 4 | I | 5 | I | 5 | I | 5 | I | 5 | II |
| II | 2 | I | 5 | I | 5 | I | 5 | I | 5 | I | 2 | II |
| II | 3 | I | 5 | I | 5 | I | 6 | I | 6 | I | 4 | II |
| II | 1 | I | 5 | I | 6 | I | 6 | I | 6 | I | 3 | II |
| II | 1 | I | 2 | I | 4 | I | 4 | I | 3 | I | 3 | II |

Fig.2.3 A. Matriz I - Gradiente de distancia con respecto al origen en campo abierto. B. Matriz II - Barreras físicas en campo abierto. C. Matriz resultante de I y II.

La matriz I es un gradiente discreto con unidades arbitrarias de distancia con respecto al punto de partida del raton. La matriz II clasifica la caja en zonas acotadas por dos, una o ninguna pared. La suma punto a punto de las dos genera la tercera matriz.

Consideramos que esta matriz refleja la emocionalidad producida por las diferentes regiones de la zona explorada debido a la lejanía del sitio de origen y a la falta de proteccion en forma de barreras. En tercera dimension esta ultima matriz se veria como la siguiente figura. El raton bajo observacion debe escalar montañas de 'tension emocional' para desplazarse.

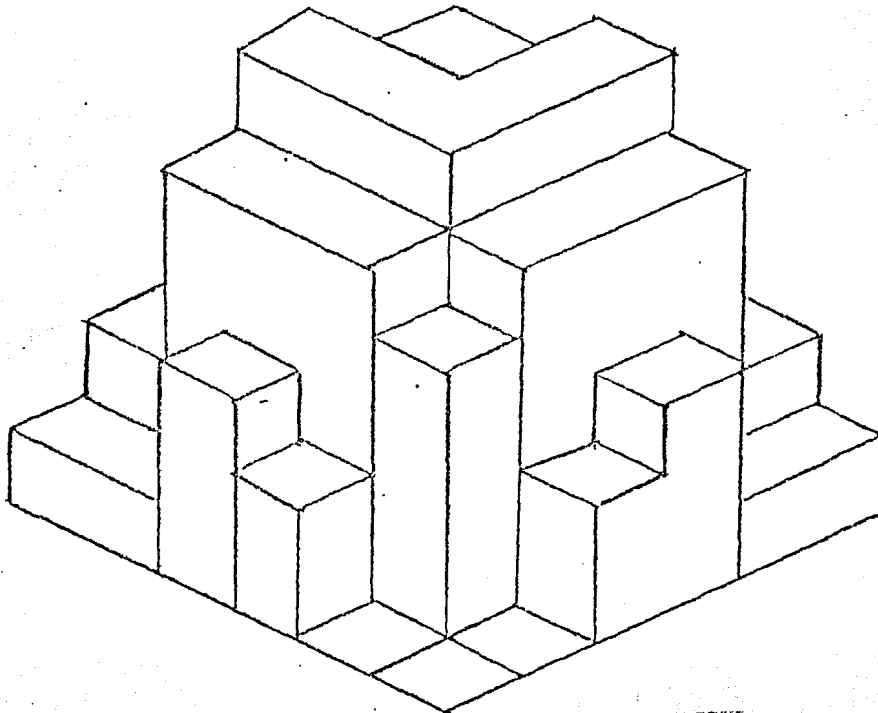


Fig. 2.4 Matriz de 'angustia' en tercera dimension.

Es posible que exista una relacion directa inversa entre el tiempo o frecuencia de permanencia y el la altura de la columna para cada punto de la matriz de tal manera que a en cada punto exista un valor constante producto de esta relacion. Se requerira de un analisis estadistico para determinarlo.

c. Coordenada temporal

Para tomar en cuenta la coordenada temporal, se determina el tiempo de estancia en una zona y se divide entre 3 segundos. El resultado determina el numero de veces que aparece ese estado de manera continua en la secuencia. De este modo, al contrario de de otros estudios, nuestra gramatica permite pasar de un estado a si mismo.

Por otra parte la posicion dentro de la secuencia

corresponde a la aparicion cronologica del evento. Al realizar deslizamientos razonables, es decir cronologicamente equivalentes, de una secuencia sobre la otra se esta tomando en cuenta esta coordenada.

La siguiente tarea es la de definir los caracteres a usar por la actividad y la zona donde se realiza. La figura 2.5 muestra las posibles eventos generales que ocurren dentro de una conducta exploratoria con sus caracteres correspondientes.

CODIGO

| | | |
|-------|------|-------------------------------|
| @-->F | ==>> | desplazamiento en zonas 0 a 6 |
| G-->M | ==>> | exploracion en zonas 0 a 6 |
| N | ==>> | aseo |
| O | ==>> | timbre |
| F | ==>> | escape |
| Q | ==>> | congelamiento |

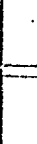
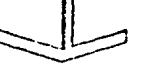
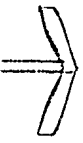
Fig. 2.5 Codigo utilizado para traducir.

El algoritmo en TDA para realizar la traduccion consiste en los siguientes pasos.

- I. Leer el elemento en turno -->>
- II. Determinar si corresponde a un cambio de actividad -->>
- III. Definir duracion de actividad anterior leyendo los minutos y segundos, en caso de ser un cambio de actividad-->>
- IV. Determinar zona de 'ansiedad' en la matriz a la cual corresponde el cuadro leído.
- V. Determinar si se ha cruzado una zona no anotada por el observador y en dado caso agregar esta informacion a la secuencia en produccion.
- VI. Acumular cadena de eventos y salir si se ha terminado la secuencia.
- VII. Regresar al punto I.

Para determinar si se ha cruzado por alguna zona no registrada al introducir los datos se utilizo la siguiente tabla. En las esquinas se encuentran los numeros de los cuadros encontrados en la informacion sin procesar. Si ocurre un desplazamiento de

Fig. 2.6 Tabla utilizada para determinar las zonas por las que hubo desplazamiento.

| | | | | | | |
|---|---|---|---|---|---|----------------|
| 1 2 7 8 |  | 2 |  | 3 |  | 5 6 11 12 |
|  | | | | |  | |
| 2 | | | | | 4 | |
|  | | | | |  | |
| 3 | | | | | 4 | |
|  | | | | |  | |
| 25 26 31 32 |  | 4 |  | 4 |  | 29 30 35 36 |

esquina a esquina se habra cruzado por las zonas indicadas en la tabla y se concatena con la secuencia en produccion. En las esquinas del esquema se encuentran los valores de la numeracion del campo abierto. Los numeros que se encuentran entre las esquinas corresponden a los valores de emocionalidad por los cuales el raton probablemente paso para desplazarse de unos a otros cuadros en esquina

Con el codigo ya definido se puede hacer una traduccion de la informacion anotada a lapiz a secuencias de caracteres. La siguiente figura muestra esta etapa.

E,0,0,1,D,0,8,1,4,6,8,E,0,30,1,F,1,02,1

∨
∨
∨

G@B@B@C@C@B@G@

Fig.2.7 Ejemplo de traduccion.

La primera expresion es la manera en que se registra la informacion. 'E' significa exploracion. Los siguientes dos numeros corresponden al tiempo en minutos y segundos cuando comenzo la actividad y el siguiente numero indica el cuadro o los cuadros en los que se realizo la actividad. En este caso despues de explorar el cuadro uno, el raton se desplazo por los cuadros 1,4,6,y 8. La expresion inferior es la misma informacion pero traducida utilizando los codigos con las zonas clasificadas. Esto es el tipo de secuencia que se puede usar en un programa como HOMOLOG. Nuestra gramatica hipotetica debiera contener una aproximacion de la siguiente secuencia como melodis central:

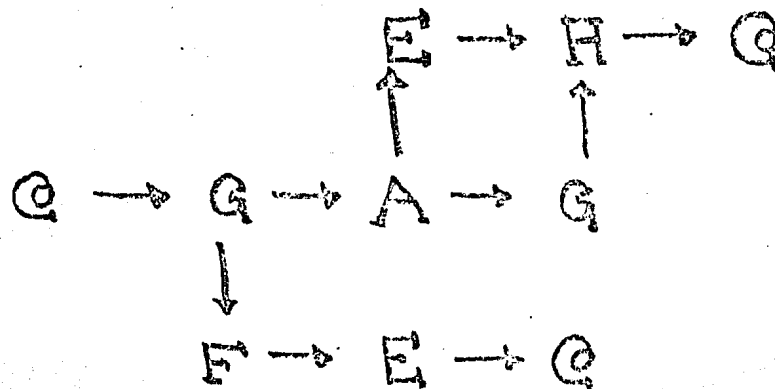
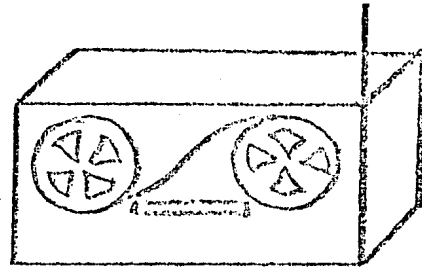
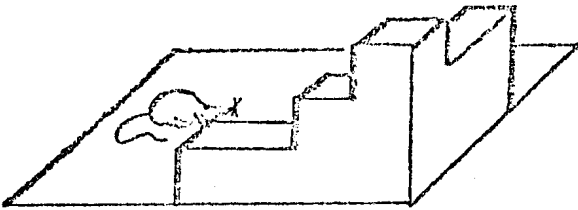


Fig. 2.8 Ciclo basico hipotetico de secuencias de pautas.

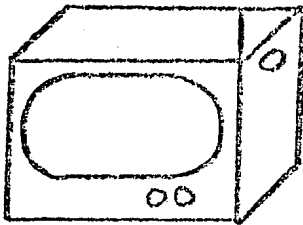
A esto se le denomina el ciclo tipico. En una secuencia promedio se debia esperar que se repitiera tres o cuatro veces con valores cada vez mas altos de ansiedad.

El siguiente diagrama esquematiza el flujo de informacion dentro del sistema montado. Los ultimos tres pasos son los que se corresponden a este trabajo. (Fig 2.9).

OBSERVACION =====>> GRABACION EN VIDEOTAPE ==>>



REVISION DE VIDEOTAPE====>>ANOTACION DE FAUTAS GENERALES====>>



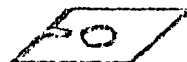
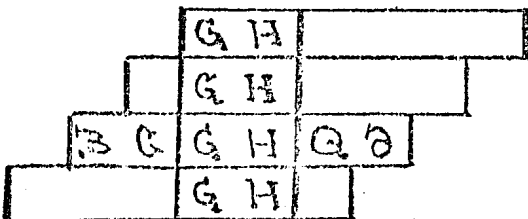
E, 1, 2, 4, 7, 6

GRABACION DE INF. EN DISCO====>>TRADUCCION A CODIGO ==>>



0 B C G H Q 0 A

COMPARACION POR HOMOLOG=====>> GRABACION DE SECUENCIAS
(PAREJA Y POSICION)



3. Resultados

Este proceso se aplico a 14 ratones 7 bajo los efectos de DIAZEPAM y 7 sin la droga. Con HOMOLOG se hicieron las comparaciones de las cadenas conductuales y con los eventos homologos explicitos se crearon los archivos de SDR. El deslizamiento permite una flexibilidad temporal en las homologias encontradas. La restriccion impuesta mas importante fue la de hacer el deslizamiento en ambos sentidos por no mas de siete eventos.

La figura siguiente muestra las secuencias encontradas en dos o mas conductas exploratorias. Encontramos que existen mas secuencias homologas entre los ratones bajo la influencia de la droga que entre los no afectados, un resultado similar a otros donde drogas uniformizan las poblaciones (comunicacion personal Marcela Santis).

La mayoria de las secuencias encontradas no son suficientemente largas o se presentan con frecuencias que no apoyan fuertemente la posibilidad de un patron general exploratorio. Existen dos posibles explicaciones para este resultado preliminar: Las suposiciones requeridas no reflejan el sistema bajo estudio adecuadamente o el patron general no existe. Se requiere ahora realizar estos analisis con mas individuos y en condiciones experimentales variadas. Sera necesario afinar los valores y las categorizaciones hechas antes del estudio. Seria interesante revisar las similitudes dentro de las secuencias homologas ya encontradas usando las mismas tecnicas. Teniendo mas datos experimentales se puede hacer un analisis estadistico minucioso que determine la significancia de cada una de ellas.

Con respecto a la matriz tridimensional existe la posibilidad de que a cada nueva conquista se crea un nuevo sitio de iniciacion y posiblemente un nuevo gradiente a partir de ese punto. En estudios futuros sera necesario revisar esta posibilidad.

II APLICACIONES DE PROGRAMAS PARA EL ANALISIS DE SECUENCIAS EN MACROMOLECULAS

A) Búsqueda de secuencias de enzimas de restricción en el genoma de *Klebsiella pneumoniae*.

En estudios recientes (16,20,22) se ha hecho un análisis de la homología entre los genes involucrados en la fijación de nitrógeno de la célula (*nif*) en diferentes bacterias. Aprovechando esta información es posible extrapolar datos entre estas especies para posteriormente intervenir activamente en la regulación del metabolismo y para obtener una mejor comprensión de los estos mecanismos.

Al utilizar una enzima de restricción (25) con A.D.N. como sustrato se generan segmentos con longitudes promedio dependientes del número de bases reconocidas por la enzima. Estos segmentos se pueden visualizar en una placa de electroforesis en gel de agarosa que separe moléculas por tamaño. Con bromuro de etidio se pueden ver las bandas fluorescer en luz ultravioleta. Si previamente se desnaturalizan las cadenas y se renaturalizan con A.D.N. proveniente de otras especies se detectarían homologías por las moléculas híbridas obtenidas. En específico se ha encontrado una gran homología entre el genoma bien conocido de *Klebsiella pneumoniae* y el de *Rhizobium phaseoli* (22). Se encontró que el plásmido pAC-30 conteniendo un inserto con los genes estructurales KD y H (3.1.1) del operon *nif* de *Klebsiella* hibridaba con tres bandas de la digestión total por *ECO RI* del genoma de *Rhizobium*. Esto generó la pregunta si cada una de las bandas corresponde a uno de los genes del plásmido o si un gene de *K. pneumoniae* estaba hibridando con varios de *Rhizobium* o sea si existía información reiterada. La estrategia más directa para responder a esta pregunta sería obtener secciones totalmente intragenicas de los genes KD y H, clonarlos en diferentes plásmidos e hibridar cada uno contra el genoma total y observar a que bandas corresponde cada plásmido. Con el propósito de encontrar la combinación más adecuada de enzimas de restricción que produjera las delecciones necesarias se desarrollo el programa BUSEC.

| | | |
|-----|--------|---------|
| 1. | AGCT | ALU I |
| 2. | CTCGGG | AVA I |
| 3. | CTCGAG | AVA I |
| 4. | CCCGGG | AVA I |
| 5. | CCCGAG | AVA I |
| 6. | GGATCC | BAM HI |
| 7. | ATATCT | BGL II |
| 8. | GAATTC | ECO RI |
| 9. | GCCC | HAE III |
| 10. | GCCC | HHA I |

| | |
|------------|----------|
| 11. AAGCTT | HIND III |
| 12. GTTAAC | HFA I |
| 13. CCGG | HFA II |
| 14. GGTACC | KPN I |
| 15. CTCCAG | PST I |
| 16. GTCGAC | SAL I |
| 17. CCGGGG | SMA I |
| 18. TCGA | TAR I |
| 19. CTCGAC | XHO I |
| 20. CCGGGG | SST II |
| 21. TGATCA | ECL I |

3.1.2 Secuencias optativas dentro de BUSEC.

BUSEC permite detectar secuencias determinadas por el usuario ya sea por impresion en teclado o por seleccion de alguna de las secuencias optativas presentadas en la introduccion del programa. (Fig. 3.1.2) La deteccion se hace de dos posibles maneras:

- A. Homologia absoluta o'
- B. Similitud porcentual

El primer metodo utiliza tres pasos principales:

1. Comparar la secuencia buscada contra la analizada elemento por elemento .
2. Almacenar en vector de valores enteros la localizacion de secuencias encontradas.
3. Incrementar apuntador de la secuencia en revision para repetir comparacion.

El segundo algoritmo da flexibilidad a la definicion de secuencias similares. La mejoria consiste en hacer una suma de los elementos atinados y dividir entre el total de elementos para seleccionar aquellas secuencias que tienen una similitud mayor al umbral determinado por el usuario (un cierto porcentaje). Para hacer eficiente el procedimiento en la comparacion de cada elemento se determina el codigo ASCII de los dos elementos a prueba. Se realiza una comparacion booleana de estos valores y se considera acierto si la diferencia es cero o falla si el resultado es diferente de cero. Por ejemplo el valor ASCII de la letra 'A' es 65 y el de la letra 'C' es de 67, la diferencia entre estos dos valores es diferente de cero, por tanto los elementos son diferentes. Si estamos comparando ACTCG contra AGTAG encontramos que el porcentaje de similitud se obtiene dividiendo tres entre cinco, o sea: 60%.

Dado que en el lenguaje BASIC se realiza la compilacion del programa simultaneamente con la ejecucion, el tiempo de procesamiento es relativamente largo. Seria recomendable transcribir este algoritmo a un lenguaje como PASCAL. Que aumenta la velocidad de ejecucion siete a diez veces.

Para detectar una secuencia definida en forma mas eficiente en ocasiones es preferible dar los elementos mas

Fig. 3.1.1 Inserto de K D y H en plasmido pAC-35.

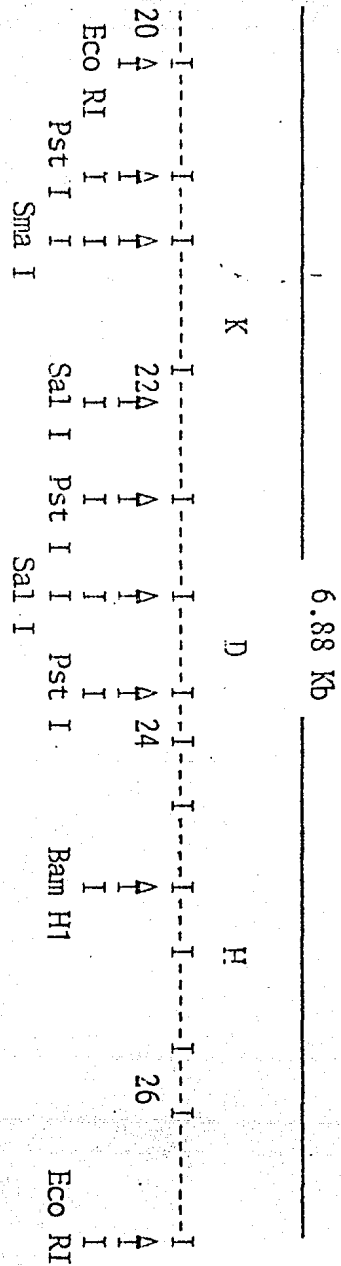


Fig. 3.1.3 Parte de la secuencia del inserto de KDH que se analizo con BUSEC.

GAATTCAACGGCTTATGAAGAGAGTGGCCGGCAGCGCCCAAGAGATTCCGTGGAAATAGACACAGGGGCGGACAAGCTGTGACAGGGGACAAAGCGCCCATGG
-250 -200

CCCCGGCAGGGCAATTGTCTGTTCGCCACATTTGGTCGCCCTTATTTGGCCGTTTGGTTTACGTCCTGGCGGGGACAAATAACTAACCTTCAATAAAATCATAAG
-150 -100

AATACATAAACAGGCACGGCTGGTATGTTCCCTGCACCTCTCTGCTGGCAAACTCAACAACAGGAGAAGTACCACATG ACC ATG CGT CAA TGC GCT ATT
-50 1 Met Thr Met Arg Gln Cys Ala Ile
1

Tyr Gly Lys Gly Gly Ile Gly Lys Ser Thr Thr Thr Thr Gln Asn Leu Val Ala Ala Leu Ala Glu Met Gly Lys Lys Val Met
TAC GGT AAA GGC GGT ATC GGT AAA TCC ACC ACC ACC ACC CAG AAC CTC GTC GCC GCG CTG GCG GAG ATG GGT AAG AAA GTG ATG
20 100

Ile Val Gly Cys Asp Pro Lys Ala Asp Ser Thr Arg Leu Ile Leu His Ala Lys Ala Gln Asn Thr Ile Met Glu Met Ala
ATC GTC GGC TGC GAT CCG AAG GCG GAC TCC ACC CGT CTG ATT CTG CAC GCC AAA GCA CAG AAC ACC ATT ATG GAG ATG GCC
40 60

Ala Glu Val Gly Ser Val Glu Asp Leu Glu Leu Glu Asp Val Leu Gln Ile Gly Tyr Gly Asp Val Arg Cys Ala Glu Ser
GGC GAA GTC GGC TCG GTC GAG GAC CTC GAA CTC CAA GAC GTG CTG CAA ATT GGC TAC GGC GAT GTG CGC TGC GCG GAA TCC
200 80

Gly Gly Pro Glu Pro Gly Val Gly Cys Ala Gly Arg Gly Val Ile Thr Ala Ile Asn Phe Leu Glu Glu Glu Gly Ala Tyr
GGC GGC CCG GAG CCA GGC GTC GGC TGC GCG GGA GCG GGC GTG ATC ACC GCG GAT AAC TTT CTT GAA GAA GGC GGC TAC
300 140

Glu Asp Asp Leu Asp Phe Val Phe Tyr Asp Val Leu Gly Asp Val Val Cys Gly Gly Phe Ala Met Pro Ile Arg Glu Asn
GAG GAC GAT CTC GAT TTC GTG TTC TAT GAC GTG CTC GGC GAC GTG GTC TGC GGC GGC TTC GCC ATG CCG ATC CGC GAA AAC
400 120

Lys Ala Gln Glu Ile Tyr Ile Val Cys Ser Gly Glu Met Met Ala Met Tyr Ala Ala Asn Asn Ile Ser Lys Gly Ile Val
AAA GCC CAG GAG ATC TAC ATC GTC TGC TCC GGC GAA ATG ATG GCG ATG TAC GCG GCC AAC AAT ATC TCC AAA GGC ATC GTT
500 160

Lys Tyr Ala Lys Ser Gly Lys Val Arg Leu Gly Gly Leu Ile Cys Asn Ser Arg Gln Thr Asp Arg Glu Asp Glu Leu Ile
AAA TAC GCC AAA TCC GGC AAG GTG CGC CTC GGC GGC CTG ATC TGT AAC TCA CGT CAG ACC GAC CGT GAA GAC GAA CTG ATT
200 180

Ile Ala Leu Ala Glu Lys Leu Gly Thr Gln Met Ile His Phe Val Pro Arg Asp Asn Ile Val Gln Arg Ala Glu Ile Arg
ATT GCC CTG GCG GAA AAG CTC GGT ACC CAG ATG ATC CAC TTT GTG CCC CGC GAC AAC ATC GTG CAG CGC GCG GAG ATC CGC
600 270

Arg Met Thr Val Ile Glu Tyr Asp Pro Ala Cys Lys Gln Ala Asn Glu Tyr Arg Thr Leu Ala Gln Lys Ile Val Asn Asn
CGC ATG ACC GGT ATC GAG TAC GAC CCC GCC TGT AAA CAG GCC AAC GAA TAC CGC ACC CTG GCG CAG AAG ATC GTC AAC AAC
700 240

Thr Met Lys Val Val Pro Thr Pro Cys Thr Met Asp Glu Leu Glu Ser Leu Leu Met Glu Phe Gly Ile Met Glu Glu Glu
ACC ATG AAA GTG GTG CCG ACC CCC TGC ACC ATG GAT GAG CTG GAA TCG CTG ATG GAG TTC GGC ATC ATG GAA GAG GAA
800 260

Asp Thr Ser Ile Ile Gly Lys Thr Ala Ala Glu Glu Asn Ala Ala *** Met Met Thr Asn Ala Thr Gly
GAC ACC AGC ATC ATT GGC AAA ACC GCC GCC GAA GAA AAC GCG GCC TGA GCACAGGACAATT ATG ATG ACC AAC GCA ACG GGC
900 280

Glu Arg Asn Leu Ala Leu Ile Gln Glu Val Leu Glu Val Phe Pro Glu Thr Ala Arg Lys Glu Arg Arg Lys His Met Met
GAA CGT AAT CTG GCG CTG ATC CAG GAA GTC CTG GAG GTG TTC CCG GAA ACC GCG CGA AAA GAG CGC AGA AAG CAC ATG ATG
20 60

Val Ser Asp Pro Lys Met Lys Ser Val Gly Lys Cys Ile Ile Ser Asn Arg Lys Ser Gln Pro Gly Val Met Thr Val Arg
GTC AGC GAT CCG AAA ATG AAG AGC GTC GGC AAG TGC ATT ATC TCT AAC CGC AAA TCA CAA CCC GGC GTA ATG ACC GTA CGC
1000 40

Gly Cys Ala Tyr Ala Gly Ser Lys Gly Val Val Phe Gly Pro Ile Lys Asp Met Ala His Ile Ser His Gly Pro Ala Gly
GGC TGC GCC TAC GCC GGT TCC AAA GGG GTG GTA TTT GGG CCG ATT AAG GAT ATG GCC CAT ATT TCG CAC GGA CCG GCT GGC
1100 80

Cys Gly Gln Tyr Ser Arg Ala Glu Arg Arg Asn Tyr Tyr Thr Gly Val Ser Gly Val Asp Ser Phe Gly Thr Leu Asn Phe
TGC GGC CAG TAT TCC CGC GCC GAA CGA CGC AAC TAC TAC ACC GGA GTC AGC GGC GTC GAT AGC TTC GGC ACG CTG AAC TTC
120 100

Thr Ser Asp Phe Gln Glu Arg Asp Ile Val Phe Gly Gly Asp Lys Lys Leu Ser Lys Leu Ile Glu Glu Met Glu Leu Leu
ACC TCT GAT TTT CAG GAG GCG GAC ATC GTC TTC GGC GGC GAT AAA AAG CTC ACC AAG CTG ATT GAA GAG ATG GAG TTG CTG
1300 140

Phe Pro Leu Thr Lys Gly Ile Thr Ile Gln Ser Glu Cys Pro Val Gly Leu Ile Gly Asp Asp Ile Ser Ala Val Ala Asn
TTC CCG CTC ACC AAA GGG ATC ACC ATT CAG TCG GAA TGC CCG GTG GGC CTG ATC GGT GAT GAT ATC AGC GCG GTG GCC AAC
1400 160

Ala Ser Ser Lys Ala Leu Asp Lys Pro Val Ile Pro Val Arg Cys Glu Gly Phe Arg Gly Val Ser Gln Ser Leu Gly His
GCC AGC AGC AAG GCG CTG GAT AAA CCG GTG ATC CCG GTA CCG TGC GAA GGC TTT CCG GCG GTG TCG CAG TCT CTG GGC CAC
180 1400

His Ile Ala Asn Asp Val Val Arg Asp Trp Ile
CAT ATC GCC AAC GAC GTG GTG CGC GAC TGG ATC C
1500 200

conservados o mas importantes como secuencia a buscar y posteriormente filtrar del resultado las secuencias no relevantes repitiendo la busqueda con los elementos menos determinantes. Como ejemplo es preferible hacer una busqueda de 'GTAC' y luego filtrar haciendo una busqueda completa sobre las secuencias encontradas que hacer una busqueda del 80% de similitud de 'TGTACA'.

Para almacenar la secuencia ya publicada del inserto KDH (1981) se hizo el programa CRADNA que crea un archivo de tipo acceso aleatorio con registros de 24 caracteres cada uno. Como accesorio el programa facilita la revision y correccion presentando en pantalla los registro de tres en tres bases. En este caso el archivo contiene 76 registros. En el momento de ejecucion de EUSEC se pregunta que archivo se va a revisar y de cuales son los primeros y ultimos registros de interes.

El resultado parcial (Sobre el gene 'H' y parte del 'D') se encuentra en las siguientes paginas. El estudio se realiza en tres pasos: con las primeras siete secuencias a detectar, luego de la ocho a la dieciseis y finalmente de la 17 a la 21. Se pueden ver dos tipos de presentaciones. La primera da los numeros de las bases donde se encuentran cada una de las secuencias, luego el numero de secuencia optativa; la secuencia; el nombre de la enzima que la reconoce; el nombre del archivo que se reviso; y los primer y ultimo registros. En la segunda presentacion se encuentran seis columnas correspondiendo al numero de base donde se encontro; en cual de los setentaseis registros se encontro; la secuencia del registro correspondiente; el numero de base dentro del registro donde comienza el encuentro; y finalmente la secuencia y un asterisco si se encontro en sentido contrario en la cadena.

Se encontro posteriormente por otros metodos (18) que efectivamente si existe reiteracion de informacion.

Otras aplicaciones de EUSEC serian determinar el uso de codones y de pares de bases A-T/C-G, y la deteccion de secuencias repetidas

| | | | | |
|------|----|------------------------------|----|----------|
| 735 | 30 | TCCCCATGCCGATCCCCGAAAGACA | 15 | CCCC * |
| 797 | 33 | ACGCCGCCAACAATATCTCCA | 5 | GCCC * |
| 848 | 35 | GCAACCTGCCCTCCGCCGCCCTCA | 8 | GCCC |
| 954 | 39 | TGATCCACTTTGTGCCGCCGCCGACA | 18 | GCCC * |
| 971 | 40 | ACATCGTGCAGCCGCCGCCACATCC | 11 | GCCC |
| 972 | 40 | ACATCGTGCAGCCGCCGCCACATCC | 12 | GCCC * |
| 973 | 40 | ACATCGTGCAGCCGCCGCCACATCC | 13 | GCCC |
| 974 | 40 | ACATCGTGCAGCCGCCGCCACATCC | 14 | GCCC * |
| 1050 | 43 | ACGAATACCCGACCCCTGCCGCCAGA | 18 | GCCC |
| 1185 | 49 | CCCAAGAAAACGCCGCCGCCGACCAC | 9 | GCCC * |
| 1240 | 51 | ACCGGCCGACCTAATCTGCCGCCCTC | 16 | GCCC |
| 1278 | 53 | CCCGAAAACCCGCCGCCAAAACAGCCGC | 6 | GCCC * |
| 1279 | 53 | CCCGAAAACCCGCCGCCAAAACAGCCGC | 7 | GCCC |
| 1280 | 53 | CCCGAAAACCCGCCGCCAAAACAGCCGC | 8 | GCCC * |
| 1290 | 53 | CCCGAAAACCCGCCGCCAAAACAGCCGC | 18 | GCCC |
| 1366 | 57 | CCACCCGCCCTAATCACCCTACCC | 18 | GCCC * |
| 1393 | 58 | GGCTGCCCTACGCCGGCTTCCAAA | 1 | GCCC |
| 1484 | 61 | CCGGCTGGCTCCGCCGAGTATTCC | 20 | GCCC * |
| 1485 | 61 | CCGGCTGGCTCCGCCGAGTATTCC | 21 | GCCC |
| 1567 | 65 | GATTTTCAGGAGCCGACATCGTC | 7 | GCCC |
| 1568 | 65 | GATTTTCAGGAGCCGACATCGTC | 8 | GCCC * |
| 1697 | 70 | GGGCTGATCGGTGATGATATCAGC | 17 | GCCC |
| 1698 | 70 | GGGCTGATCGGTGATGATATCAGC | 18 | GCCC * |
| 1723 | 71 | GCGCTGCCCAACGCCAGCAGCAAG | 19 | GCCC |
| 1765 | 73 | GTACCCTGCCAAGGCTTTCCCGGC | 13 | GCCC * |
| 1812 | 75 | ATGCCCAACGACCTGGTCCGCCGAC | 12 | GCCC |
| 1813 | 75 | ATGCCCAACGACCTGGTCCGCCGAC | 13 | GCCC * |
| 144 | 6 | AATGTTCGTGTTTCCCACATTTGG | 0 | GTTAAC * |
| 94 | 3 | TCCGTGCAATAAGACACAGCCGGC | 22 | CCGG * |
| 130 | 5 | AGCGCCCATGCCGCCGCCAGGCCGC | 10 | CCGG * |
| 134 | 5 | AGCGCCCATGCCGCCGCCAGGCCGC | 14 | CCGG |
| 348 | 14 | TTTACCCTAAAGGCCCTATCCGTA | 12 | CCGG * |
| 399 | 16 | TCCGTGCCGCCGCTGCCGCCGAGATGG | 15 | CCGG |
| 497 | 20 | ACACCATTATGACATGCCGCCGCC | 17 | CCGG * |
| 583 | 24 | AATCCGGCGGCCGCCGAGCCAG | 7 | CCGG |
| 588 | 24 | AATCCGGCGGCCGCCGAGCCAG | 12 | CCGG * |
| 591 | 24 | AATCCGGCGGCCGCCGAGCCAG | 15 | CCGG |
| 772 | 32 | GCTCCGGCGAAATGATGCCGATGT | 4 | CCGG |
| 800 | 33 | ACGCCGCCAACAATATCTCCA | 8 | CCGG * |
| 938 | 34 | GGATCGTTAAATACGCCAAATCCG | 22 | CCGG |
| 858 | 35 | GCAAGGTGCCCTCGGCCGCCCTCA | 18 | CCGG * |
| 1025 | 42 | ACCCCGCCTGTAAACAGGCCAACC | 17 | CCGG * |
| 1188 | 49 | CCGAAGAAAACGCCGCCGCCAGCCAC | 12 | CCGG * |
| 1270 | 52 | ATCCAGGAAAGCTCGTCCAGCTGTC | 22 | CCGG |
| 1369 | 57 | CCACCCGCGCTAATGACCCGTALGC | 1 | CCGG |
| 1402 | 58 | GGCTGCCGCTACCCCGCTTCCAAA | 10 | CCGG |
| 1426 | 59 | GGGCTCGTATTTCCGCCGATTAG | 10 | CCGG * |
| 1441 | 60 | GATATGCCCCATATTTCCGACCGCA | 1 | CCGG * |
| 1460 | 60 | GATATGCCCCATATTTCCGACCGCA | 10 | CCGG |
| 1472 | 61 | CCGGCTGCTCGCCGCTATATCC | 8 | CCGG * |
| 1509 | 62 | CCCGGCCAAGCAGCCCAACTACGAC | 21 | CCGG |
| 1704 | 71 | GCGCTGCCGAAACCCGAGCAGCAAG | 0 | CCGG * |
| 1735 | 72 | GCGCTGCCGAAACCCGAGCAGCAAG | 7 | CCGG |
| 1744 | 72 | GCGCTGCCGAAACCCGAGCAGCAAG | 16 | CCGG |

MATRIZ DE COORDENADAS:

0 0 0 0 0 0 0 0 0 0 NO.SEC: 17 SEC.: CCCGGG ENZIMA: SMA I ARCHIVO: AR 1E
 REG.: 1 ULT. REG.: 76
 17 535 673 922 1003 1104 1524 1529 1596 1605 NO.SEC: 18 SEC.: TCGA ENZIMA:
 ARCHIVO: AR 1ER REG.: 1 ULT. REG.: 76
 0 0 0 0 0 0 0 0 0 0 NO.SEC: 19 SEC.: CTCGAG ENZIMA: XHO I ARCHIVO: AR 1E
 REG.: 1 ULT. REG.: 76
 99 457 0 0 0 0 0 0 0 0 NO.SEC: 20 SEC.: CCGCGG ENZIMA: EST II ARCHIVO: AR
 1ER REG.: 1 ULT. REG.: 76
 22 0 0 0 0 0 0 0 0 0 0 NO.SEC: 21 SEC.: TGATCA ENZIMA: BCL I ARCHIVO: AR
 1ER REG.: 1 ULT. REG.: 76

| NO. SEC. | NO. REG. | SECUENCIA | NO. EN REG. | SEC. ENZ. |
|----------|----------|---------------------------|-------------|-----------|
| 517 | 21 | AAGTCGGCTCGGTCGAGGACCTCG | 13 | TCGA |
| 535 | 22 | AACTCGAAGACGTGCTGCCAAA | 7 | TCGA |
| 673 | 28 | TCGATTTCCGTGTTCTATGACGTGC | 1 | TCGA |
| 922 | 38 | TGGCGGAAAAGCTCCGTACCCAGA | 10 | TCGA * |
| 1003 | 41 | GCCGCATGACGGTTATCGAGT | 19 | TCGA |
| 1104 | 46 | AGCTGGAATCGCTCCTGATCGAGT | 0 | TCGA * |
| 1524 | 63 | ACCCGAGTCAGCGCCGTCGATAGC | 12 | TCGA. |
| 1529 | 63 | ACCCGAGTCAGCGCCGTCGATAGC | 17 | TCGA * |
| 1596 | 66 | TTCCGCCGCCGATAAAAAGCTCAGC | 12 | TCGA * |
| 1605 | 66 | TTCCGCCGCCGATAAAAAGCTCAGC | 21 | TCGA * |
| 499 | 20 | ACACCATTATCGAGATGGCCGCGG | 19 | CCGCGG |
| 57 | 27 | AAGAAGGCCCTACGAGGAGC | 9 | CCGCGG * |
| 822 | 25 | TCGGCTCCCGGGACCGCGCGTGA | 22 | TGATCA |
| 26 | 5 | AGCGCCCATGGCCCCGGCAGCGCG | 6 | GCTACC * |
| 27 | 38 | TGCCCGAAAAGCTCCGTACCCAGA | 15 | GCTACC |
| 95 | 45 | TGCCGACGCCCTGCACCAATGCATG | 15 | GCTACC * |
| 146 | 72 | GCGCTGCATAAACCGGTGATCCCG | 18 | GCTACC |
| 69 | 27 | AAGAAGGCCCTACGAGGAGC | 21 | CTCGAG * |

B) Búsqueda de zonas participantes en la regulación de Glutamino Sintetasa en E.coli.

Glutamino sintetasa es una enzima cuya función es central en el metabolismo nitrogenado de E. coli. (24), y por tanto se encuentra altamente regulada; De ahí la importancia de conocer en detalle la región de control del gene que la codifica. En esta zona se habían encontrado 3 probables sitios de iniciación de transcripción (operadores). Dos de los cuales se localizan muy lejos de la iniciación de traducción. Esto hizo pensar en la posible existencia de una región atenuadora en este fragmento de A.D.N.. Aunque métodos genéticos no sugirieran esto se requería un estudio más detallado para confirmarlo. En la siguiente figura se pueden observar los posibles sitios de reconocimiento para iniciación de transcripción dentro de cajas y el sitio de anclaje ribosomal (para traducción) subrayada con puntos. Si existiese una regulación de tipo atenuación como en el operon de triptofano (26) debe haber alguno o todos los componentes siguientes: A) La codificación para un péptido iniciado después de los posibles promotores más lejanos. B) Dos o más codones para glutamina en tandem y en fase con el péptido hipotético. C) Estructuras secundarias de tipo haza sobrepuestas en la misma zona.

El programa TRAD utiliza una matriz tridimensional para traducir secuencias de A.D.N. o A.R.N. a secuencias de aminoácidos en las posibles tres fases. Las coordenadas de la matriz corresponden al valor ASCII de los tres componentes del triplete (Fig.3.2.2). Para detectar el péptido y los codones en tandem se hizo una traducción de la zona en tres fases (Fig. 3.2.3)

Para buscar estructuras secundarias se usó el programa BUPAL. El programa permite visualizar con facilidad a secuencias invertidas repetidas dentro de D.N.A y R.N.A. y da todas las secuencias mayores a 4 bases con sus respectivas posiciones. El programa consiste en hacer comparaciones de la secuencia de interés contra su secuencia complementaria generada en dirección opuesta.

BUPAL es una variante de HOMOLOG que genera una matriz donde se ven todas las posibles combinaciones de apareamientos dentro de una misma cadena. Revisando esta matriz primaria (antes de filtrar las secuencias menos significativas), en sentido vertical se puede observar que se generan dos ejes palindrómicos en forma diagonal de derecha a izquierda. Al comienzo del proceso de deslizamiento de una secuencia con respecto a la otra y al agregar las últimas bases de una de las secuencias al comienzo de la misma, se pueden observar palíndromos cortos en las dos mitades de la matriz. Conforme se ejecuta el programa, los palíndromos de la derecha de la secuencia ocupan la mayor

Fig. 3.2.2 Espacio cartesiano representando el metodo de traduccion de tripletes a aminoacidos.

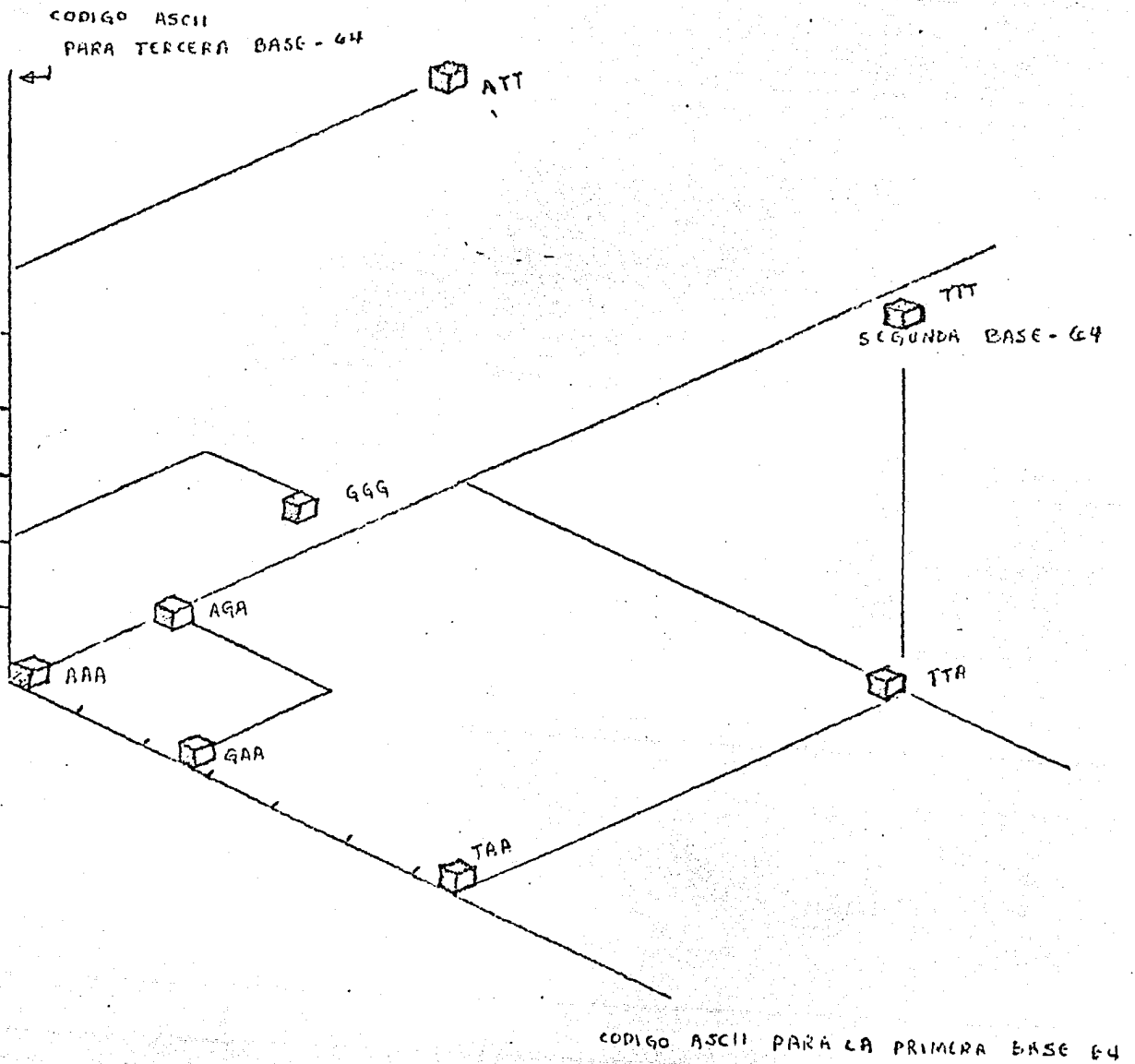


Fig. 3.2.3 Traducción en tres fases de región de control de glnA.

| | | | | | | | | | | | | | | | | | | | |
|----|------------|------------|------------|------------|-----|------------|------------|------------|-----|------------|-----|------------|-----|------------|------------|------------|------------|------------|------------|
| IR | LEU | THR | LEU | LEU | ASP | TRP | SER | TRP | SER | SER | TRP | <u>FIN</u> | ARG | ASN | LEU | GLN | LEU | PHE | TRP |
| OD | CYS | ARG | VLN | LYS | LYS | ILE | LYS | ARG | ASN | LEU | CYS | GLN | LEU | LEU | ASN | CYS | PRO | <u>FIN</u> | LYS |
| LA | LEU | SER | CYS | ALA | THR | ILE | ARG | ALA | LYS | GLY | LEU | HIS | HIS | ASP | VLN | ASN | VLN | ALA | PRO |
| LE | <u>FIN</u> | CYS | PHE | ASN | ARG | LYS | HIS | <u>FIN</u> | ALA | PRO | CYS | TRP | SER | ASN | ASP | LEU | TRP | ILE | THR |
| EU | PHE | <u>MET</u> | LEU | GLU | SER | ASP | HIS | LYS | GLY | THR | LEU | GLN | TYR | CYS | LEU | ARG | ARG | <u>MET</u> | PHE |
| LN | ILE | LEU | PHE | CYS | SER | ALA | ILE | ASN | PRO | TYR | TYR | ASN | ASN | ALA | LEU | PHE | LEU | <u>MET</u> | PRO |
| LU | ALA | LYS | LEU | <u>FIN</u> | SER | | | | | | | | | | | | | | |
| EU | <u>FIN</u> | LEU | SER | TRP | ILE | GLY | HIS | GLY | ARG | ARG | GLY | ASN | GLU | ILE | CYS | ASN | TYR | PHE | GLY |
| OD | VLN | ALA | <u>FIN</u> | LYS | ARG | <u>FIN</u> | SER | GLU | ILE | CYS | ALA | ASN | PHE | <u>FIN</u> | ILE | ALA | PRO | LYS | ARG |
| YS | TYR | HIS | ALA | GLN | PRO | SER | VLN | GLN | LYS | GLY | CYS | THR | THR | <u>MET</u> | <u>FIN</u> | <u>MET</u> | LEU | HIS | GLN |
| FR | SFR | ALA | SER | ILE | GLY | ASN | ILE | LYS | HIS | HIS | VLN | GLY | ARG | <u>MET</u> | THR | PHE | GLY | <u>FIN</u> | PRO |
| HE | LEU | CYS | SER | LYS | ALA | ILE | THR | LYS | GLY | LEU | CYS | ASN | ILE | VLN | CYS | GLY | GLY | CYS | LEU |
| IN | SER | CYS | PHE | VLN | VLN | ARG | LEU | ILE | ARG | ILE | THR | ILE | THR | ARG | TYR | PHE | <u>FIN</u> | CYS | LEU |
| OS | GLN | SER | CYS | ASP | ARG | | | | | | | | | | | | | | |
| HE | ASN | SER | PRO | GLY | LEU | VLN | <u>MET</u> | VLN | VLN | VLN | VLN | THR | LYS | SER | ALA | ILE | ILE | LEU | ALA |
| LN | SER | ARG | LYS | LYS | ASP | LYS | ALA | LYS | SER | VLN | PRO | THR | PHE | LYS | LEU | PRO | LEU | LYS | GLY |
| LN | ILE | <u>MET</u> | ARG | ASN | HIS | PRO | CYS | LYS | ARG | ALA | ALA | PRO | ARG | CYS | GLU | CYS | CYS | THR | ASN |
| E | VLN | LEU | GLN | SER | GLU | THR | LEU | SER | THR | <u>MET</u> | LEU | VLN | GLU | <u>FIN</u> | PRO | LEU | ASP | ASN | PRO |
| | TYR | ALA | PRO | LYS | ARG | SER | GLN | ARG | ASP | SFR | ALA | ILE | LEU | PHE | ALA | GLU | ASP | VLN | CYS |
| | PRO | VLN | LEU | <u>FIN</u> | CYS | ASP | <u>FIN</u> | SER | VLN | LFU | GLN | <u>FIN</u> | ARG | ALA | ILE | SER | ASN | ALA | <u>FIN</u> |
| | LYS | VLN | VLN | ILE | GLY | | | | | | | | | | | | | | |

ADUCCION DE SEQUENCIA: TTTCCGATCACAACDTTTCGCTCAGGCATTAGAAATAGCGCGTTATTGTAATACGG
 TTAATCGIACTAGAAAACAGGATCACAACATCCCTCCGCAACCAATATTSCAGAGTCCCTTTGTGATCGCTTTCCAGGA
 CATAAAGABGTTATCCAAAGATCATTCCGACCAACATCGTGCTTAATGTTTCCGATTCAGGCACTATATTGCTGCAACA
 TCACATCGTGGTCCAGCCCTTTTCCACCGATGGTTCCGATCATAACCCCTTTTACGGGGCAATTTAAAAGTTGGCAGAG
 TTTCCCTTATGTTTITTAAGCCACACCCGCAATAAATTCCAGATTTCGTTACCACGACCACCATGACCAATCCAGGA
 AGTTAAGAT

Fig. 3.2.4 Ejes de simetría para detección de palíndromos en matriz generada por EUPAL.

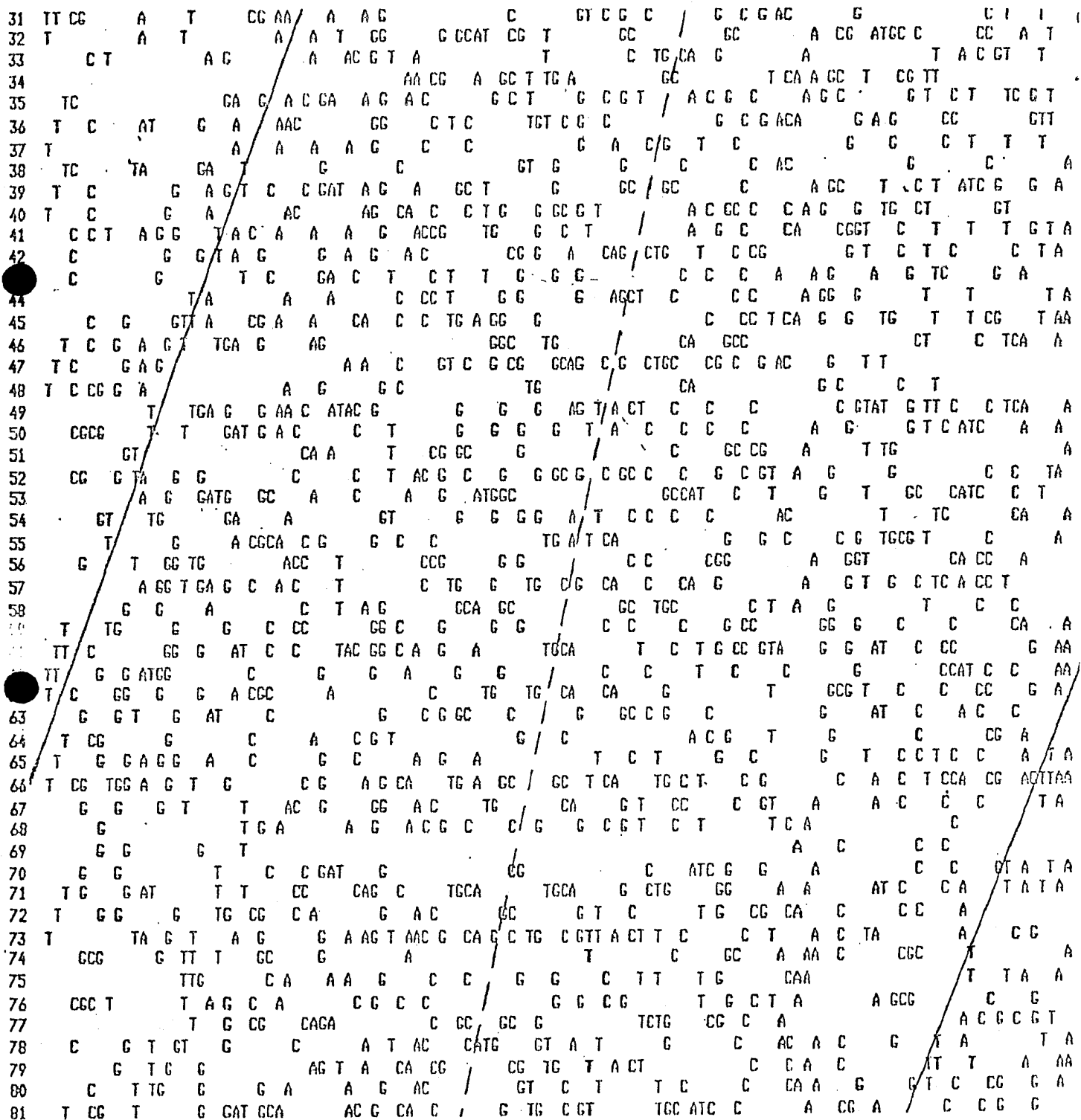


Fig. 3.2.6 Optima estructura para la búsqueda de secuencias repetidas invertidas en un segmento de mas de 80 pares de bases.

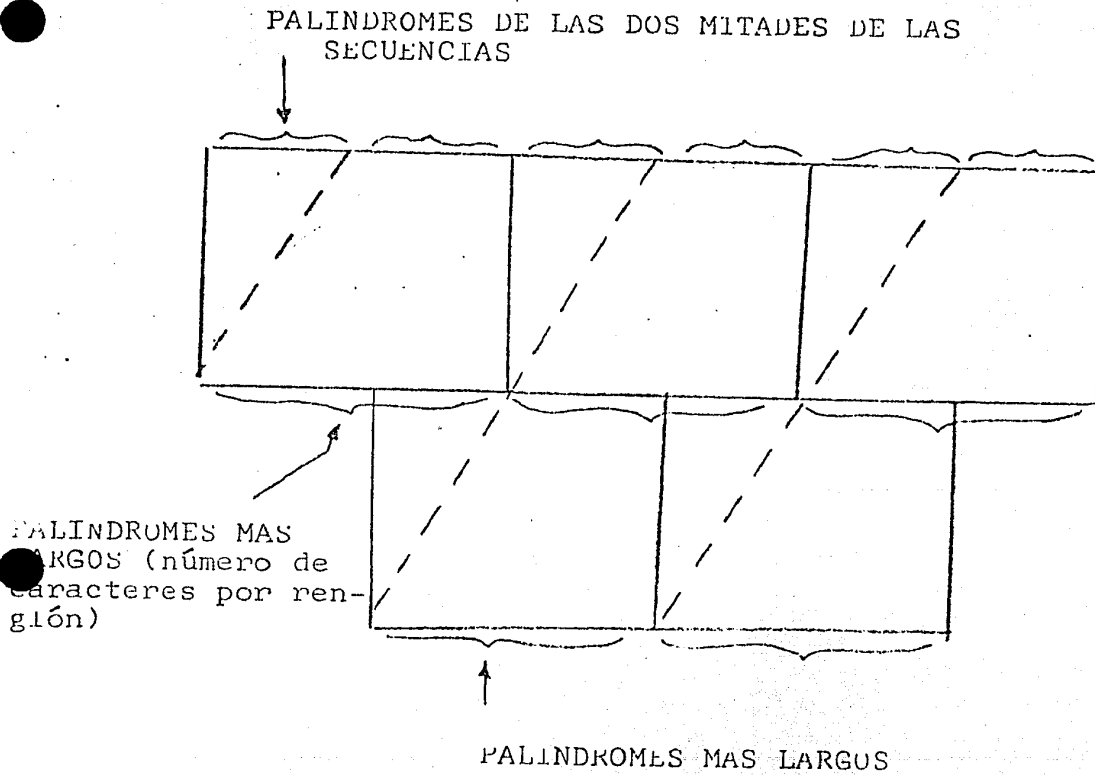


Fig. 3.2.5 Compaginación de secuencias palindromicas dentro de la region de control de glnA de E.coli. (bases 565 a 685)

DIAGONALES

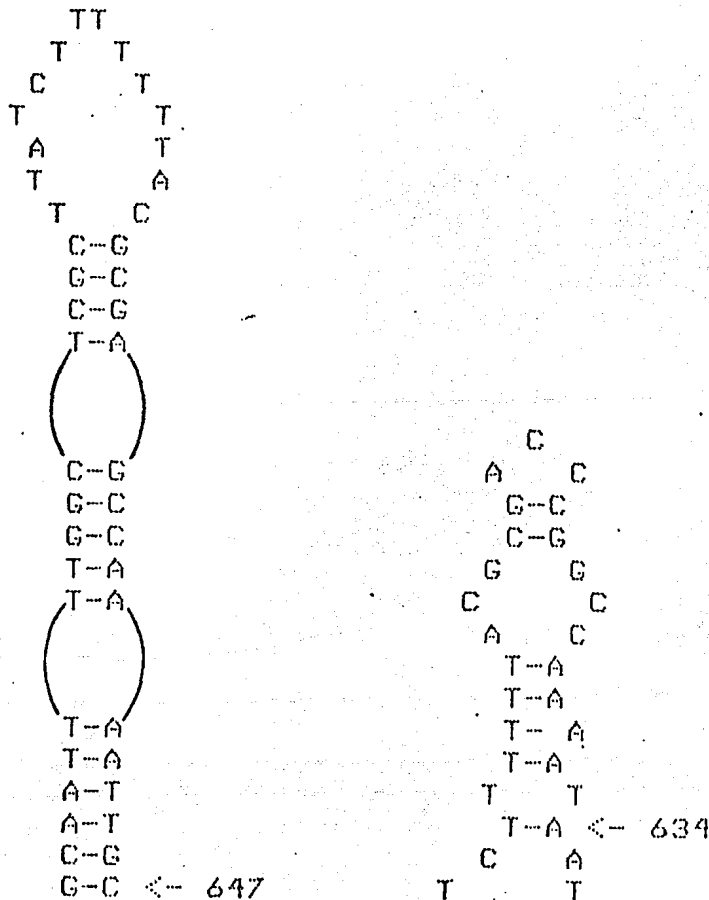
AS=CYTTTACGGSCAATTTAAAATTECCACACAGATTTCCTTTATCTTTTTTACGGCACACGGSCCAAAAATAATTECAGATTTCGTACCACGACCACCATGACCAATCCAGGACACTTAAAGT
 SO=ACTTTAACTCTCCTGSAATTCGTGTCGTGCTAACGAAATCTGCAATTAATTTTGGCCGTGTCGCTAATAAAGATAAAGCGAANTCTGTGCCAATTTTTAAATTCGCCCTAAAAG

| | | | | | | | | | | | | | | | | | | | | | | | | | | | | | | | |
|----|----|-----|-------|-----|-----|-------|-----|------|-----|------|-----|----|------|------|------|------|-----|------|----|----|-----|-----|----|------|----|----|-----|---|-----|---|---|
| 13 | T | GG | T | | A | AT | T | TT | AT | T | C | C | | AA | ATAA | A | AT | T | | A | | CC | A | | | | | | | | |
| 14 | TT | G | T | | CT | C | A | TC | TT | TT | | CG | | AA | AA | GA | T | G | AC | | A | | CA | A | A | T | | | | | |
| 15 | TT | | T | | GT | A | A | T | TTT | T | | A | | AAA | A | AT | T | AC | | A | | AA | | AT | | | | | | | |
| 16 | TT | | G | T | | GA | | TTT | T | CCCG | A | | A | AA | | TC | | A | C | | AA | C | A | T | G | | | | | | |
| 17 | T | T | GG | T | | GA | | TTT | TT | | AA | | AAA | | TC | | A | CC | A | A | C | A | T | G | | | | | | | |
| 18 | T | A | GG | C | T | A | | CG | T | TTT | C | TT | CG | AA | G | AAA | A | CG | | T | A | G | CC | T | A | | | | | | |
| 19 | T | GG | | T | AA | | ATT | TT | CTT | | AA | G | AA | AA | T | | TT | A | | CC | A | AT | A | T | A | | | | | | |
| 20 | T | T | GG | T | AA | G | C | ATT | T | TT | | AA | A | AA | T | G | C | TT | A | C | CA | A | T | A | T | A | | | | | |
| 21 | T | GC | | TAA | | CA | TT | | T | | A | | AA | TC | | TTA | GC | A | C | T | | | | A | G | | | | | | |
| 22 | CT | G | | TA | AT | A | TT | | TT | TA | | AA | | AA | T | A | T | TA | | C | A | GAC | C | G | G | | | | | | |
| 23 | T | T | GG | T | AA | T | GCA | ATTT | G | | TA | | C | AAAT | TGC | AT | A | C | CA | A | | AC | | GT | | | | | | | |
| 24 | T | G | | AAA | TA | A | TT | GC | T | TC | T | A | GA | A | GC | AAA | T | CA | TT | | C | A | | AA | C | G | TT | | | | |
| 25 | T | GG | A | AAA | T | | A | TT | CT | | T | A | AG | AA | T | | A | TTT | T | CC | A | A | A | TC | GA | T | | | | | |
| 26 | T | T | GG | AA | AA | | T | C | TT | CT | | AG | AA | G | A | | TT | TT | CC | CA | A | T | | C | G | A | | | | | |
| 27 | T | GG | A | A | G | A | | CG | T | T | A | A | CG | | T | C | T | T | CC | A | C | T | A | C | T | CC | GGA | G | T | A | G |
| 28 | CT | GG | | | | | | | T | | | A | | | | | | | CC | A | GAC | T | AC | C | G | GT | A | G | | | |
| 29 | T | T | G | CA | T | | T | G | G | T | | A | C | C | | A | A | T | G | CA | A | | C | | G | | | | | | |
| 30 | T | | AA | T | ATT | | G | T | C | | | G | A | C | | AA | T | ATT | | A | | A | C | T | A | G | T | | | | |
| 31 | CT | | G | AA | T | AA | T | | T | TA | | TA | A | | AA | T | A | ATT | C | | A | GAC | A | C | G | T | G | | | | |
| 32 | T | TA | G | A | T | AA | T | | T | CCCT | TA | | TA | CCGA | A | | A | TT | A | T | C | TA | A | | T | CC | GG | A | | | |
| 33 | T | A | G | | T | AA | TT | CG | T | T | A | T | A | A | CG | AA | TT | A | | CT | A | | AC | C | G | CT | | | | | |
| 34 | T | G | | A | ATT | G | C | T | CG | | A | T | CG | A | G | CA | AT | T | | C | A | AC | AC | T | AT | A | GT | G | | | |
| 35 | T | | C | | A | TTGGC | G | | A | T | | C | CCCA | T | | G | | A | | C | | A | T | | G | | | | | | |
| 36 | A | | TA | TGC | | | | | A | T | | C | CCA | TA | | T | | C | A | C | | | | G | T | G | | | | | |
| 37 | A | | A | TTA | | | T | | A | | | A | | TAA | T | | T | AC | AC | C | TC | | CA | G | GT | G | | | | | |
| 38 | A | | GCAAT | | G | G | G | T | | AT | | A | C | C | C | | AA | TTCC | T | | CC | GA | TC | GG | | | | | | | |
| 39 | | | G | ATT | | G | G | C | T | | | A | G | C | C | | A | ATC | | G | | A | C | C | G | G | T | | | | |
| 40 | T | G | | TT | | G | G | | TA | | C | C | | AA | | C | A | T | AC | | | | | GT | A | | | | | | |
| 41 | T | G | | ATT | | TC | CC | A | | TA | | T | GG | CA | | AAAT | | C | A | TT | | C | AT | AT | G | AA | | | | | |
| 42 | TT | | A | TTT | | GT | | A | GT | AC | | T | | AC | AAA | T | | A | A | C | TTA | CC | C | TC | CA | G | G | G | TAA | G | |
| 43 | TT | | TT | | T | GC | AA | | | TT | GC | A | | AA | | AA | | T | AC | | G | G | C | | GT | A | | | | | |
| 44 | T | A | | T | | GT | G | AA | | TT | C | AC | | A | | T | A | T | | CC | GA | | TC | GG | A | | | | | | |
| 45 | CT | A | | | | G | AAA | | | TTT | C | | | | | T | AGA | TT | | C | C | | TA | | G | G | AA | | | | |
| 46 | | | | | | C | AAA | T | | A | TTT | C | | | | | TTT | T | C | G | | | | C | G | A | AAA | | | | |
| 47 | T | | | | | G | AA | T | | A | TT | C | | | | A | A | TT | T | CC | GA | | TC | GG | A | AA | | | | | |
| 48 | C | TTA | | T | | T | A | AGAT | GC | ATCT | T | A | | A | | TAA | G | T | C | T | C | | G | CATG | C | G | A | G | A | | |
| 49 | TT | | G | T | | GT | A | | | T | AC | | A | C | | AA | C | | T | | | G | C | G | C | | A | | G | | |
| 50 | TT | T | GGC | TT | | | A | A | A | CG | TTT | | | A | A | GCC | A | AA | | A | TC | | A | | T | | GA | T | | | |

parte de la matriz hasta llegar al punto en que se compara toda la secuencia contra toda su complementaria sin agregar bases a los extremos. En este renglon se obtienen los palindromos de mayor longitud. Teniendo esto en mente, el analisis de una secuencia mas larga que el numero de caracteres por renglon se requiere hacer el estudio como indica la figura 3.2.5. Para obtener posibles estructuras secundarias se seleccionan las secuencias de mayor longitud y se compaginan con secuencias encontradas en los renglones superiores e inferiores. En la figura 3.2.6 se ve un ejemplo de las posibles combinaciones que se pueden producir.

Este fenomeno sugiere como se generan estructuras secundarias de gran complejidad y de utilidad regulatoria para la maquinaria de replicacion, transcripcion, y traduccion.

Se buscaron, utilizando EUPAL, posibles estructuras secundarias, las mas importantes se esquematizan en la figura 3.2.7. Esta zona forma dos gazas alternativas. La primera tiene mayor probabilidad de formarse ya que es termodinamicamente mas estable.



3.2.6 Dos posibles estructuras secundarias encontradas por

EUPAL en la region de control de glrA.

Revisando la traduccion de la zona encontramos que los peptidos posibles son relativamente cortos y que no existen los codones en tandem de glutamina. Por otra parte las estructuras secundarias que se observan no tienen conformaciones classicas del mecanismo de atenuacion. Podrian, sin embargo, estas estructuras funcionar como sitios de reconocimiento para proteinas operadoras o activadoras.

Este estudio se realizo sobre la secuencia complementaria a la introducida por el investigador se uso el programa usando el programa COMP. COMP consulta una tabla en la cual se encuentra la letra correspondiente a la base complementaria. El indice de la tabla esta dado por el codigo ASCII de las las letras 'A', 'C', 'G', Y 'T', o sea (65, 67, 71, 84). Conforme se lee la secuencias se genera la secuencia complementaria haciendo la consulta necesaria.

haber el mismo amino acido en ambas secuencias. Por ejemplo tenemos que entre las secuencias de Escherichia coli y de Neurospora crass se encontro como indica la siguiente figura una similitud cercana al 50% y entre bovino y E. coli alrededor de 17%.

BUSQUEDA DE HOMOLOGIA

ABSOLUTO

A\$=KRDPNQTETFAQAVREVHTLWPFLEGNPKYRQHSLLERLVEFERVIOFRVUVDDEPNQIGNRAURVQFSSAIGPYKGGHRFHPVSN
 SO\$=EGFFNRGASTVEDKLVICLRTROSMEGRHRVRGILRIKFCIHVLSVSFFIKRDCZWEVIEGYRQASHNORTPKGGIRYSLIVSDEVK

| | | | | | | | | | | | | | | | | | | | | |
|----|---|---|---|---|---|---|---|---|---|--|----|---|---|---|---|---|---|---|---|----|
| 1) | | E | | Q | R | | L | | V | | | | | | | | | | | |
| 2) | | | L | | | | R | P | | | | S | | G | | | | | | |
| 3) | | V | | | R | | L | | V | | D | V | R | Q | S | P | K | G | R | V |
| 4) | | | | E | Q | | L | | | | DD | | | | | | G | | | |
| 5) | D | | E | T | | R | | | F | | D | | | | | | | | | SV |
| 6) | | V | T | | | | | | V | | | I | R | A | | | | | | |

LA HOMOLOGIA MAXIMA OCURRIO EN LA FASE 3 ,FUE DE 15 COINCIDENCIAS EN UN TOTAL DE 87 ELEMENTOS

EL PORCENTAJE DE SIMILITUD = .172413793

BUSQUEDA DE HOMOLOGIA

ABSOLUTO

A\$=KRDPNQTETFAQAVREVHTLWPFLEGNPKYRQHSLLERLVEFERVIOFRVUVDDEPNQIGNRAURVQFSSAIGPYKGGHRFHPVSN
 SO\$=SNLPSEPEFEDAYKELAYTLENSSLFQKHPEYRTALTUASIPERVIOFRVUVDDEPNQIGNRAURVQFSSAIGPYKGGHRFHPVSNLST

| | | | | | | | | | | | | | | | | | | | | | |
|----|---|---|---|---|---|---|---|---|---|---|----|---|---|---|---|---|---|---|---|---|---|
| 1) | N | | | | | | L | | V | | R | | | | | | | | | | |
| 2) | | | | | K | | | | V | D | | | | G | | | | | | | |
| 3) | P | E | F | Q | A | E | T | L | | P | E | R | V | I | O | F | R | V | U | V | D |
| 4) | | | T | | L | Q | | L | | V | DD | N | | S | | G | | | | | |
| 5) | | E | A | | | P | Y | R | | E | | D | Q | | | | | | | | |
| 6) | P | | | | F | | | | | | | | R | | | | | | | | |

LA HOMOLOGIA MAXIMA OCURRIO EN LA FASE 3 ,FUE DE 44 COINCIDENCIAS EN UN TOTAL DE 87 ELEMENTOS

EL PORCENTAJE DE SIMILITUD = .505747126

Fig. 3.3.2 Comparacion absoluta entre las secuencias de E.coli y N.crassa, y entre Bovino y E.coli.

A continuacion se buscaron coincidencias de aminoacidos que diferian en una sola base de su codon de

traducción. Para ello se construyo una matriz en la cual se viera esta relacion. Utilizando la tabla de la siguiente figura (3.3.3) se puede observar que todos los codones que se encuentran en una misma caja difieren en solo la ultima base. Los codones en un mismo renglon difieren en la base central y todos los codones que se encuentran en la misma posicion dentro de los diferentes cuadros pero en la misma columna difieren solo en la primera base.

| | | | | | | | |
|-----|-----|-----|-----|-----|-----|-----|-----|
| UUU | Phe | UCU | Ser | UAU | Tyr | UGU | Cys |
| UUC | Phe | UCC | Ser | UAC | Tyr | UGC | Cys |
| UUA | Leu | UCA | Ser | UAA | End | UGA | End |
| UUG | Leu | UCC | Ser | UAG | End | UGG | Trp |
| CUU | Leu | CCU | Pro | CAU | His | CGU | Arg |
| CUC | Leu | CCC | Pro | CAC | His | CGC | Arg |
| CUA | Leu | CCA | Pro | CAA | Gln | CGA | Arg |
| CUG | Leu | CCG | Pro | CAG | Gln | CGG | Arg |
| AUU | Ile | ACU | Thr | AAU | Asn | AGU | Ser |
| AUC | Ile | ACC | Thr | AAC | Asn | AGC | Ser |
| AUA | Ile | ACA | Thr | AAA | Lys | AGA | Arg |
| AUG | Met | ACG | Thr | AAG | Lys | AGG | Arg |
| GUU | Val | GCU | Ala | GAU | Asp | GGU | Gly |
| GUC | Val | GCC | Ala | GAC | Asp | GGC | Gly |
| GUA | Val | GCA | Ala | GAA | Glu | GGA | Gly |
| GUG | Val | GCG | Ala | GAG | Glu | GGG | Gly |

Fig. 3.3.3 Tabla de correspondencia entre tripletes y aminoacidos usada para determinar diferencias de una base.

La matriz que contiene la relacion entre los diferentes aminoacidos se muestra en la figura 3.3.4.

| | | | | | | | | | | | | | | | | | | | | | |
|---|---|---|---|---|---|---|---|---|---|---|---|---|---|---|---|---|---|---|---|---|---|
| R | 1 | 0 | 0 | 1 | 0 | 0 | 0 | 1 | 0 | 1 | 0 | 0 | 0 | 0 | 0 | 0 | 1 | 1 | 1 | 0 | 0 |
| K | 0 | 1 | 0 | 0 | 0 | 1 | 1 | 0 | 0 | 1 | 1 | 0 | 1 | 1 | 1 | 0 | 1 | 1 | 1 | 1 | 0 |
| N | 0 | 0 | 1 | 1 | 0 | 0 | 0 | 0 | 0 | 0 | 1 | 1 | 0 | 1 | 0 | 0 | 0 | 1 | 1 | 0 | 1 |
| D | 1 | 0 | 1 | 1 | 0 | 0 | 0 | 1 | 0 | 1 | 1 | 0 | 0 | 1 | 0 | 0 | 0 | 0 | 0 | 0 | 1 |
| E | 0 | 0 | 0 | 0 | 0 | 0 | 0 | 0 | 0 | 0 | 0 | 0 | 0 | 0 | 0 | 0 | 0 | 0 | 0 | 0 | 0 |
| C | 0 | 1 | 0 | 0 | 0 | 1 | 0 | 0 | 0 | 1 | 0 | 0 | 0 | 0 | 0 | 1 | 0 | 1 | 0 | 1 | 1 |
| Q | 0 | 1 | 0 | 0 | 0 | 0 | 1 | 1 | 0 | 0 | 1 | 0 | 1 | 1 | 0 | 0 | 1 | 0 | 0 | 0 | 0 |
| E | 1 | 0 | 0 | 1 | 0 | 0 | 1 | 1 | 0 | 0 | 0 | 0 | 0 | 1 | 0 | 0 | 0 | 0 | 0 | 0 | 0 |
| Z | 0 | 0 | 0 | 0 | 0 | 0 | 0 | 0 | 0 | 0 | 0 | 0 | 0 | 0 | 0 | 0 | 0 | 0 | 0 | 0 | 0 |
| G | 1 | 1 | 0 | 1 | 0 | 1 | 0 | 0 | 0 | 1 | 0 | 0 | 0 | 0 | 0 | 0 | 0 | 1 | 0 | 1 | 0 |
| H | 0 | 1 | 1 | 1 | 0 | 0 | 1 | 0 | 0 | 0 | 1 | 0 | 1 | 0 | 0 | 0 | 1 | 0 | 0 | 0 | 1 |
| I | 0 | 0 | 1 | 0 | 0 | 0 | 0 | 0 | 0 | 0 | 0 | 1 | 1 | 0 | 1 | 1 | 0 | 1 | 1 | 0 | 0 |
| L | 0 | 1 | 0 | 0 | 0 | 0 | 1 | 0 | 0 | 0 | 1 | 1 | 1 | 0 | 1 | 1 | 1 | 1 | 0 | 1 | 0 |
| K | 0 | 1 | 1 | 1 | 0 | 0 | 1 | 1 | 0 | 0 | 0 | 0 | 0 | 1 | 1 | 0 | 0 | 0 | 1 | 0 | 0 |
| M | 0 | 1 | 0 | 0 | 0 | 0 | 0 | 0 | 0 | 0 | 0 | 1 | 1 | 1 | 1 | 0 | 0 | 0 | 1 | 0 | 0 |
| F | 0 | 0 | 0 | 0 | 0 | 1 | 0 | 0 | 0 | 0 | 0 | 1 | 1 | 0 | 0 | 1 | 0 | 1 | 0 | 0 | 1 |
| P | 1 | 1 | 0 | 0 | 0 | 0 | 1 | 0 | 0 | 0 | 1 | 0 | 1 | 0 | 0 | 0 | 1 | 1 | 1 | 0 | 0 |
| S | 1 | 1 | 1 | 0 | 0 | 1 | 0 | 0 | 0 | 1 | 0 | 1 | 1 | 0 | 0 | 1 | 1 | 1 | 1 | 1 | 1 |
| T | 1 | 1 | 1 | 0 | 0 | 0 | 0 | 0 | 0 | 0 | 0 | 1 | 0 | 1 | 1 | 0 | 1 | 1 | 1 | 0 | 0 |
| W | 0 | 1 | 0 | 0 | 0 | 1 | 0 | 0 | 0 | 1 | 0 | 0 | 1 | 0 | 0 | 0 | 0 | 1 | 0 | 1 | 0 |
| Y | 0 | 0 | 1 | 1 | 0 | 1 | 0 | 0 | 0 | 0 | 1 | 0 | 0 | 0 | 0 | 1 | 0 | 1 | 0 | 0 | 1 |

Fig. 3.3.4 Matriz mostrando los aminoácidos que difieren en solo una base.

Tomando en cuenta esta matriz el porcentaje de homología entre E.coli y N. crassa aumenta al 74% con se ve en la siguiente figura.

BUSQUEDA DE HOMOLOGIA

CAMBIO DE UNA BASE

```

A$=KRDPHOTEFADAUREVNTTLWPFLEQHPKYRQMSLLERLVEFERVIGFRVWVDDRNQIQVNRARVQFSSAIGFYKGGHRFHPSVN
SD$=SNLPSEFEFEDAYKELAYTLENSSLFQKHFEYRTALTVASIFERVIGFRVWVDDRNQIQVNRARVQFSSAIGFYKGGHRLHPSVNLST
1)  PNQT AQ VRE M  PF  HF  RQ    L EP  QF  V VD RN    RA RV    IGF  M  HS
2)  DP    Q V EVXT W  L Q  PKY Q    RLV  RI  V  DDRN I  RW  SSA    G  HPS
3)  R PHOTEFADA REV TL FL    R MS L    PERVIGFRVWVDDR IQVNRARVQFSSAIGFYKGGHRFHPSVN ←
4)  K P Q    R V T  PFL QNP  QMSL E LV  EV  V  VDD N  N    SS    G  M  HP
5)    Q E A V E M  WPFLEQHPKYR S LE L E E IOF  V VDDR QI    RV FSSA    M  S
6)  DP  E QAV  M TLWPFLEQ  R MSL  LVE RV  F VV VDD  IQVNRARVQFSSA    F
    
```

LA HOMOLOGIA MAXIMA OCURRIO EN LA FASE 3 ,FUE DE 64 COINCIDENCIAS EN UN TOTAL DE 97 ELEMENTOS

EL PORCENTAJE DE SIMILITUD = .735632184

3.3.5 Comparacion entre N.crassa y E.coli considerando el cambio de una base.

Para detectar características químicas seleccionadas por presiones funcionales a nivel de estructura primaria (la secuencia de bases) GRAFFOL presenta un histograma donde la longitud de las barras corresponde a la hidrofobicidad de cada uno de los aminoácidos de la secuencia peptídica.

La clasificacion es la siguiente:

* --> HIDROFOBICO.
 ** --> CICLICOS
 *** --> NEUTROS
 **** --> POLARES BASICOS
 ***** --> POLARES ACIDOS

En la figura 3.3.6 se pueden apreciar los resultados obtenidos del analisis de las secuencias de Glutamato Deshidrogenasa de las cuatro ramas filogeneticas. Se detecto un pico de region acida seguido por otro de hidrofobicidad ciclica para finalizar con otra acida cerca de la posicion 60.

Con el criterio de hidrofobicidad/hidrofilicidad (valores de cero a cuatro) encontramos una homologia del 61% en la secuencias de E. coli y N. crassa (Fig. 3.3.7)

BUSQUEDA DE HOMOLOGIA

POLARIDAD

A\$=KRDFNQTFAQAVREVHTTLWPFLEQNPKYRQMSLLERLVEPERVIQFRVUVVDDRRNQTQVNRARVQVQSSAIGPYKGGHFFHPSVN
 SD\$=SNLPSEFEFQAYKELAYTLENSSLFRKHPEYRTALTVASIPERVIQFRVUVVWEDDDGNVQVNRGVRVQVFNALGPKGGLRLHPSVNLST

- | | | | | | | | | | | | | | | | | | | | | | |
|----|----|----|----|----|-----|----|-----|-----|-----|----|---------------|-------|------|-----|--------|-----|-------|----|----|----|----|
| 1) | PN | A | AV | T | E | N | ERL | VEP | I | V | QVN | R | F | AI | P | HP | | | | | |
| 2) | R | T | A | RV | | K | RHS | | I | RV | D | QI | N | AVR | S | A | Y | G | FH | SN | |
| 3) | P | EF | QA | E | HTL | F | KY | M | LE | EP | ERVIQFRVUVVDD | IQVNR | RVQF | SA | GPYKGG | R | HPSVN | | | | |
| 4) | PN | T | A | HT | PFL | Q | R | SL | ERV | V | FV | DD | N | V | A | SS | P | GM | P | VN | |
| 5) | KR | E | A | V | T | P | P | YR | M | R | EPE | V | D | NQI | RA | FS | | | F | VN | |
| 6) | R | PH | T | FA | RV | TT | F | Y | | V | E | V | | I | R | NRV | F | A | K | RF | VN |



LA HOMOLOGIA MAXIMA OCURRIDO EN LA FASE 3 ,FUE DE 53 COINCIDENCIAS EN UN TOTAL DE 87 ELEMENTOS

EL PORCENTAJE DE SIMILITUD = .609195402

3.3.7 Comparacion entre E.coli y N.crassa tomando en cuenta la polaridad de los aminoacidos.

Es importante considerar ambos tipos de similitudes ya que una homologia puede implicar tanto evolucion convergente o como divergente dependiendo de la presion funcional para una caracteristica definida.

Para encontrar una relacion filogenetica mas clara se utilizo un sistema similar al que se uso con citocromo C. Se requiere de la matriz que se muestra en la figura 3.3.8. La tabla es similar a la publicada por Fitch y Margoliash y otros grupos y da la distancia minima mutacional entre los

Fig. 3.3.6 Histogramas de hidrofobicidad/hidrofilicidad de las enzimas GDH nadph dependientes de E.coli, N.crassa, Pollo, y Bovino. Cerca de la posicion 60 se observa un pico de acidez.

E COLI



KRDPNQTEFAQAVREVMTLWPFLEQNPKYRQHSLLERLVEPERVIQFRVUWVDDRRNDIOVNRARVQFSSAIGPYKGGKRFHPSVN

N.CRASSA



SNLPSEPEFEQAYKELAYTLENSSLFQKHPEYRTALTVASIPERVIQFRVUWVHDDGCVQVHRGVRVGFHSALGPYKGGRLHPSVNLISI

POLLO



EGFFRFGASIVEDKLVLEGLRTRQSEQRKRRVIRGILRIIKFCNHVLSVFFPIKRDDGZUEVIEGYRAGHSHORTPCKGGIRYSLDVSUDEVK

BOVINO



EGFFRFGASIVEDKLVLEGLRTRQSEQRKRRVIRGILRIIKFCNHVLSVFFPIKRDDGZUEVIEGYRAGHSHORTPCKGGIRYSLDVSUDEVK

diferentes aminoácidos. Esta se define como el número de bases que requieren ser sustituidas para que una secuencia se transforme en otra. Por ejemplo tenemos que para que un codón que codifica para alanina como GCG pase a ser uno que codifique para glicina (GGG) la modificación mínima sería en la segunda base y por tanto la distancia mínima mutacional es de 1.

| | D | C | T | F | E | H | K | A | M | N | Y | P | Q | R | S | W | S | V | I | G |
|---|---|---|---|---|---|---|---|---|---|---|---|---|---|---|---|---|---|---|---|---|
| D | 0 | 2 | 2 | 2 | 1 | 1 | 2 | 1 | 3 | 1 | 1 | 2 | 2 | 2 | 2 | 3 | 2 | 1 | 2 | 1 |
| C | 2 | 0 | 2 | 1 | 3 | 2 | 3 | 2 | 3 | 2 | 1 | 2 | 3 | 1 | 1 | 1 | 2 | 2 | 2 | 1 |
| T | 2 | 2 | 0 | 2 | 2 | 2 | 1 | 1 | 1 | 1 | 2 | 1 | 2 | 1 | 1 | 2 | 2 | 2 | 1 | 2 |
| F | 2 | 1 | 2 | 0 | 3 | 2 | 3 | 2 | 2 | 2 | 1 | 2 | 3 | 2 | 1 | 2 | 1 | 1 | 1 | 2 |
| E | 1 | 3 | 2 | 3 | 0 | 2 | 1 | 1 | 2 | 2 | 2 | 2 | 1 | 2 | 2 | 2 | 2 | 1 | 3 | 1 |
| H | 1 | 2 | 2 | 2 | 2 | 0 | 2 | 2 | 3 | 1 | 1 | 1 | 1 | 1 | 2 | 3 | 1 | 2 | 2 | 2 |
| K | 2 | 3 | 1 | 3 | 1 | 2 | 0 | 2 | 1 | 1 | 2 | 2 | 1 | 1 | 2 | 2 | 2 | 2 | 2 | 2 |
| A | 1 | 2 | 1 | 2 | 1 | 2 | 2 | 0 | 2 | 2 | 2 | 1 | 2 | 2 | 1 | 2 | 2 | 1 | 2 | 1 |
| M | 3 | 3 | 1 | 2 | 2 | 3 | 1 | 2 | 0 | 2 | 3 | 2 | 2 | 1 | 2 | 2 | 1 | 1 | 1 | 2 |
| N | 1 | 1 | 2 | 1 | 2 | 1 | 2 | 2 | 3 | 1 | 0 | 2 | 2 | 2 | 1 | 2 | 2 | 2 | 2 | 2 |
| Y | 2 | 2 | 1 | 2 | 2 | 1 | 2 | 1 | 2 | 2 | 2 | 0 | 1 | 1 | 1 | 2 | 1 | 2 | 2 | 2 |
| P | 2 | 3 | 2 | 3 | 1 | 1 | 1 | 2 | 2 | 2 | 2 | 1 | 0 | 1 | 2 | 2 | 1 | 2 | 3 | 2 |
| Q | 2 | 1 | 1 | 2 | 2 | 1 | 1 | 2 | 1 | 2 | 2 | 1 | 1 | 0 | 1 | 1 | 1 | 1 | 2 | 1 |
| R | 2 | 1 | 1 | 1 | 2 | 2 | 2 | 1 | 2 | 1 | 1 | 1 | 2 | 1 | 0 | 1 | 1 | 2 | 1 | 1 |
| S | 3 | 1 | 2 | 2 | 2 | 3 | 2 | 2 | 2 | 3 | 2 | 2 | 2 | 1 | 1 | 0 | 1 | 2 | 3 | 1 |
| W | 2 | 2 | 2 | 1 | 2 | 1 | 2 | 2 | 1 | 2 | 2 | 1 | 1 | 1 | 1 | 1 | 0 | 1 | 1 | 2 |
| L | 1 | 2 | 2 | 1 | 1 | 2 | 2 | 1 | 1 | 2 | 2 | 2 | 2 | 2 | 2 | 2 | 2 | 1 | 0 | 1 |
| V | 2 | 2 | 1 | 1 | 3 | 2 | 2 | 2 | 1 | 1 | 2 | 2 | 3 | 2 | 1 | 3 | 1 | 1 | 0 | 2 |
| I | 1 | 1 | 2 | 2 | 1 | 2 | 2 | 1 | 2 | 2 | 2 | 2 | 2 | 1 | 1 | 1 | 2 | 1 | 2 | 0 |

Fig. 3.3.8 Matriz indicando distancias mínimas mutacionales entre los diferentes aminoácidos.

Se determinaron las distancias mínimas mutacionales entre las cuatro secuencias. Estos valores se encuentran en la tabla de la figura 3.3.9. Para ello se llevaron a cabo dos pasos.:

I) Deslizar una secuencia contra la otra recortando segmentos de las secuencias para buscar máxima homología absoluta.

La necesidad de efectuar esto implica que ocurrieron inserciones y deleciones a lo largo de la evolución.

II) Usar la tabla de la figura anterior.

En la siguiente figura se presentan las distancias mínimas de mutación obtenidas.

| | E | N | P | B |
|-----|---|----|----|----|
| E I | | 42 | 54 | 62 |
| N I | | | 52 | 58 |
| P I | | | | 11 |

Fig. 3.3.9 Distancias minimas mutacionales entre las cuatro secuencias.

Como se puede apreciar la distancia entre E.Coli y N.Crassa es 30% menor que la distancia entre Neurospora y Bovino. Tenemos entonces que este eucarionte primitivo esta mas cercano filogeneticamente a los procariontes que a los eucariontes modernos.

Con estos datos se genero un arbol filogenetico muy parecido al clasico.

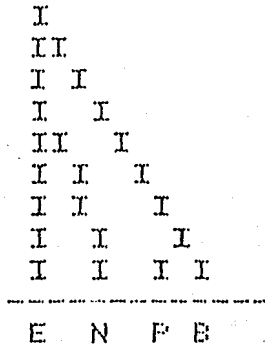


Fig. 3.3.10 Dendrograma obtenido a partir de de las distancias mutacionales.

En el dendrograma las distancias minimas mutacionales corresponden a la suma de de las distancias corresponden a las sumas de las longitudes de las ramas. Asi la suma de las dos ramas de Pollo y Bovino es igual a 11 y entre N. crassa y E. coli es de 42.

Esta representacion se debe tomar con mucha cautela por los siguientes motivos:

- a) Se esta analizando una sola proteina.
- b) Solo se analizan los primeros 97 aminoacidos de ella.
- c) Se esta tomando la distancia minima y no la real por la degeneracion del codigo genetico. No podemos definir la historia verdadera de divergencia.
- d) Ciertas partes de la estructura tienden a conservarse mas que otras. (Entre Neurospora, Pollo, y Bovino existen veintion glicinas en comun implicando posiblemente una estructura de tipo alfa-helice.
- e) La velocidad de divergencia varia en diferentes ramas.
 - Aumenta con la disminucion en el tiempo de generacion.

Algunas de estas objeciones son validas tambien en el modelo de Fitch y Margoliash como ellos mencionan.

DISCUSIONES:

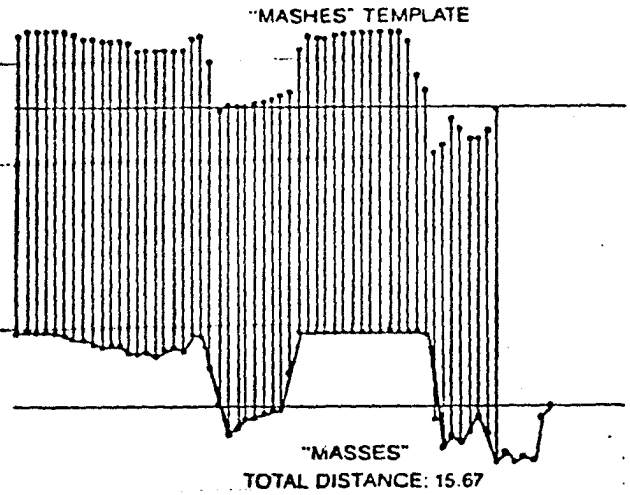
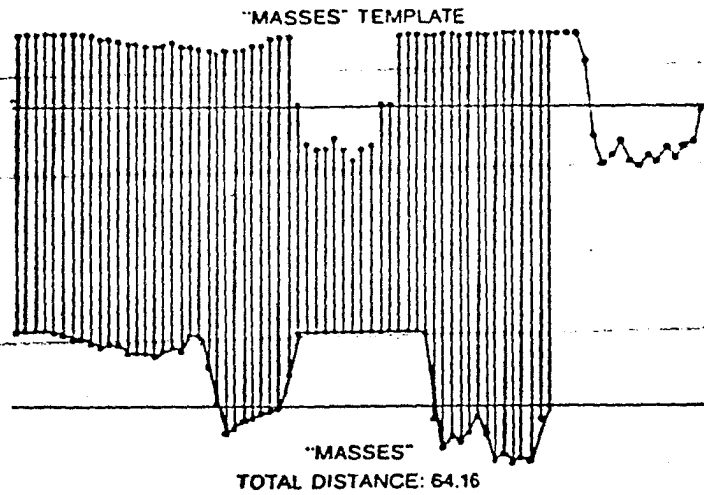
A. Para encontrar la gramática general de la conducta exploratoria será necesario trabajar con más datos y en condiciones variadas.

B. Sería interesante aplicar el program MMD que representa relaciones arboresas a las secuencias conductuales. Con el posiblemente se detectarían categorías dentro de los diferentes tipos de ratones análogas a una relación filogenética. Para aplicar el programa básicamente se usaría en la misma forma que con las secuencias peptídicas. El problema se encuentra en cómo definir las distancias entre las distintas unidades conductuales. Una posibilidad sería definir las a partir de un análisis de cumulos usando uno de los siguientes criterios: precedencia, gasto energético, 'gasto emocional', o morfología de cada una de las pautas.

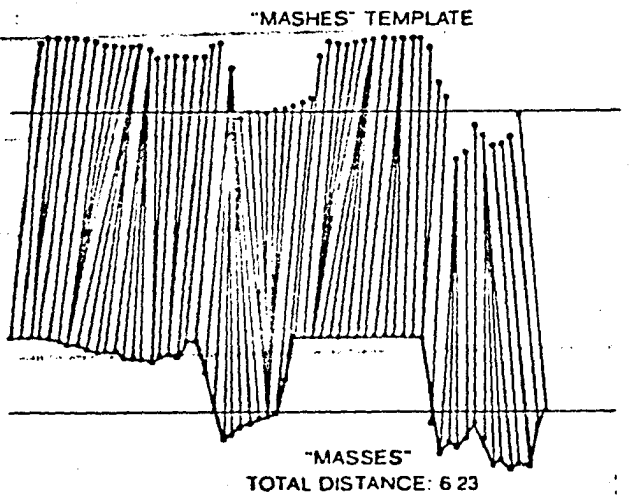
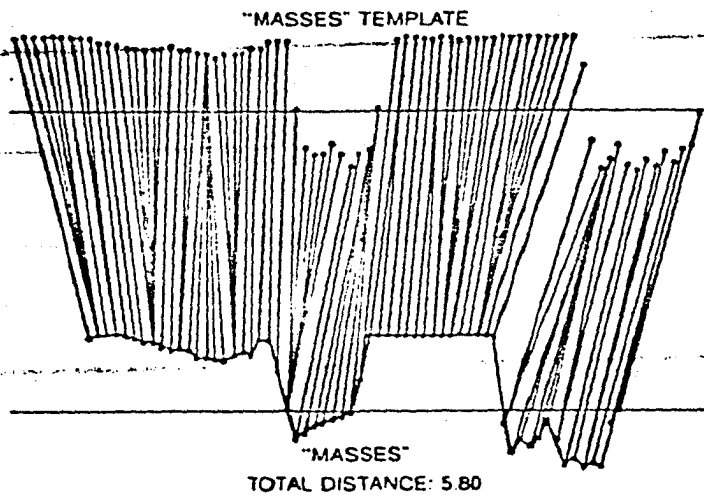
C. La Programación Dinámica es una de las técnicas utilizadas en el reconocimiento de patrones (12). Fue desarrollada en el campo de la Investigación de Operaciones. Se basa en comparar todos los puntos de una gráfica contra todos los relevantes del segundo patrón generando un valor que debe ser minimizado usando probabilidad y estadística para encontrar el templado equivalente. La figura 4.1 indica que haciendo una comparación punto a punto entre dos fonogramas de las palabras 'MASSES' y 'MASHES' la computadora rechaza la tesis de que son homólogas. En cambio al usar la técnica, el procesador puede declarar a ambos patrones como correspondiendo a la misma palabra pero pronunciada a velocidades diferentes.

Fig. 4.2 Reconcimiento de patrones usando la tecnica de programacion dinamica (12).

DIRECT MATCHING



MATCHING BY DYNAMIC PROGRAMMING



representadas en forma de histogramas.

D. Existen analogías adicionales al hecho de que las secuencias conductuales y macromoleculares se pueden tratar en forma similar:

BIOQUIMICA ADN + MEDIO ---> PROTEINA ----> FUNCION.

BIOLOGICA ADN + MEDIO ---> CONDUCTA ----> FUNCION

En el primer caso el factor genético más el medio interno, principalmente, determinan la manera en que se producirá una proteína. Esta proteína tendrá una función bioquímica. En el segundo sistema el mismo factor genético ~~más el medio externo determinarán que conducta se presentará~~ y esta tendrá una función biológica. Actualmente las relaciones entre los primeros dos elementos del primer sistema y la regulación de ellas son mucho mejor conocidas que las correspondientes del segundo sistema. Con la creación de nuevas técnicas de adquisición de conocimiento, este aspecto tendrá mayor comprensión.

El trabajar con símbolos y no con su significado como sucede en el cálculo proposicional tiene la ventaja de generalizar la función de los programas. Lenguajes funcionales como LISP (List Procesor) que han sido utilizados para trabajar con cálculo proposicional deben ser igualmente efectivos en el tratamiento de los problemas aquí expuestos.

REFERENCIAS

1. Archer, J. Test for Emotionality in Rats and Mice: a review. *Anim. Behav.* 21:205-235, (1973)
2. Barnett, S.A., Cowan P.E. Activity, Exploration, Curiosity, and Fear: an Ethological study. *Interdisc. Sci. Rev.* 1:43-62, (1976).
3. Blanchard, R.J., M.J.Kelley and D.C.Blanchard, Defensive Reactions and Exploratory Behavior in Rats. *J. Comp. Physiol. Psychol.* 87: 1129-1133, (1974).
4. Blumenthal Kenneth M., Moon Kenneth, Smith Emil, Nicotinamide Adenine Dinucleotide Phosphate-specific Glutamate Dehydrogenase of Neurospora. *The Journal of Biol. Chem.* Vol. 250, No. 10, pp.3644-3651
5. Colgan, Peter W., (ed.) Quantitative Ethology ED. E. Wiley & Sons Interscience Publications (1971).
6. Diaz, Jose Luis, Analisis Estructural de la Conducta , (en imprenta).
7. Fentress, J.C., Stilwell F.P. Grammar of a Movement Sequence in inbred mice. *Nature, Lond.* 244: 52-53, (1973).
8. Dickerson, Richard E., The Structure and History of an Ancient Protein., *Scientific American* (1972), Vol.226, No.4
9. Fitch Walter M., Margoliash Emanuel, Construction of Phylogenetic Trees. *Science* Vol.155, p.279.
10. Glover S.W. Aspects of Genetic Engineering in Micro-organisms, *Adv. in Microb. Phys.* (1978) v.18, 235-271
11. Gouy M., Gautier C., Codon Usage in Bacteria: Correlation with Gene Expressivity.
12. Levinson Stephen E., Liberman Mark, Speech Recognition by Computer, *Scientific American*, April (1981)p.64
13. Lehninger Albert L., Biochemistry, . ED. Worth Publishers Inc. NY. (1976).
14. Maxam A.M., Gilbert W. (1977) *PNAS* vol.74. no.5, p.560-564.
15. Messing J., Crea R., Seeburg P. A System for Shotgun DNA Sequencing (1981) *Nuc. Acids Res.* 9, 309-321.
16. Puhler A., Klipp w., "Fine Structure analisis of the Gene Region for Nitrogen Fixation (nif) of Klebsiella pneumoniae."

17. Bothe H., Trebst A. (eds.) Biology of Inorganic Nitrogen and Sulfur. Springer-Verlag Berlin Heidelberg (1981).
18. Quinto C., De La Vega, Humberto, Flores Margarita, Fernandez Léonor, Ballado Teresa, Soberon Gloria, Palacios Rafael, Reiteration of nitrogen fixation gene sequences in *Rhizobium phaseoli*
19. Rosenberg, Genetic Regulation
20. Ruvkun Mary B., Ausbel Frederick M., Interspecies Homology of nitrogenase genes PNAS, Vol.77, No.1, pp.191-195
Sanger E., Nicklen S., Conson R., DNA Sequencing With Chain Terminating Inhibitors. PNAS vol. 74, No. 12, p.5463-5467.
21. Santis M., Diaz J. L. Location Response to a Startling Noise on the Preferred Grooming Site in Mice (bajo revision).
22. Scott K.F. et al, *Klebsiella* rif Structural Gene Sequences, J.Mol.Appl.Genet. Vol.1, No.1, 1981.
23. Timmis Kenneth N. "Gene Manipulation in vitro", Max Planck Institute for Molecular Genetics, Glover S.W., Hopwood D.A. (eds.) Genetics as a tool in Microbiology, Society for General Microbiology Symposium 31, Cambridge University Press. (1981).
24. Tyler, Bonnie, Regulation of the Assimilation of Nitrogen Compounds. Ann. Rev. Biochem. (1978) :47:pp. 1127-1162
25. Werner Arber, DNA Modification and Restriction, Prog. Nuc. A. Res. Mol. Biol. Vol.14:1 (1974)
26. Yanofsky C., Attenuation in the Control of Expression of the Bacterial Operon. Nature Vol. 289, Feb. 26 (1981) p.751.